На правах рукописи

### ЕЛОХИН ВЛАДИМИР АСКОЛЬДОВИЧ

### МОЛИБДЕНОВОРУДНЫЕ И МОЛИБДЕНСОДЕРЖАЩИЕ ФОРМАЦИИ УРАЛА

25.00.11 – Геология, поиски и разведка твердых полезных ископаемых, минерагения

Автореферат диссертации на соискание ученой степени доктора геолого-минералогических наук Работа выполнена на кафедре геологии и защиты в чрезвычайных ситуациях факультета геологии и геофизики ГОУ ВПО «Уральский государственный горный университет»

**Научный консультант:** доктор геолого-минералогических наук, профессор, Грязнов Олег Николаевич

**Официальные оппоненты:** доктор геолого-минералогических наук, профессор, член-корреспондент РАН Золоев Ким Карпович

доктор геолого-минералогических наук, профессор Мустафин Сабир Кабирович

доктор геолого-минералогических наук, старший научный сотрудник Холоднов Владимир Васильевич

**Ведущая организация**: Институт геологии и минералогии им. В. С. Соболева СО РАН

совета по защите докторских и

Защита состоится «27» октября 2010 г. в 14-00 часов на заседании совета по защите докторских и кандидатских диссертаций Д 212.269.07 при Национальном исследовательском Томском политехническом университете по адресу: 634050 г. Томск, ул. Советская, 73, корп. 1, ауд. 111.

С диссертацией можно ознакомиться Национального исследовательского университета (г. Томск, ул. Белинского, 55)	Томского политехнического
Автореферат разослан «»	_ 2010 г.
Ученый секретарь	

кандидатских диссертаций Д 212.269.07 \_\_\_\_\_ С. И. Арбузов

#### ОБШАЯ ХАРАКТЕРИСТИКА РАБОТЫ

Молибден широко используется в металлургии легированных сталей и сплавов. Основными промышленными типами месторождений Мо являются:

- собственно молибденовые молибденпорфирового (штокверкового) геолого-промышленного типа, в них заключено около 31 % подтверждённых мировых запасов и они обеспечивают приблизительно 29 % общемировой добычи;
- комплексные медно-молибденовые месторождения молибден-меднопорфирового типа (60 % подтверждённых запасов и 60,4 % добычи) и вольфрам-молибденовые штокверкового и скарнового типов (6 % запасов и 6,5 % добычи).

Месторождения молибденпорфирового типа сосредоточены в основном в США (Гендерсон, Клаймакс, Куэста и Куотс-Хилл, Томпсон-Крик, Маунт-Эммонс, Маунт-Толмен), России (Бугдаинское, Жирекенское, Сорское, Агаскырское), Канаде (Эндако, Китсолт), известны также в Китае (Луанчуань, Циндуичен), Казахстане (Шалгиинское), Монголии и др.

Молибден-меднопорфировые месторождения сконцентрированы преимущественно в Чили (Чукикамата, Эль-Теньенте, Эскондида, Андина, Эль-Сальвадор, Кольяуаси, Лос-Пеламбрес и др.), Перу (Куахоне, Антамина, Мичикильяй, Токепала), Мексике (Ла-Каридад), Канаде (Хаклберри, Гибралтар, Хайленд-Валли и др.), Казахстане (Коунрад, Актогай, Айдарлы), Армении (Каджаранское, Агаракское, Анкаванское, Дастакертское, Джиндаринское, Парагачайское, Айгедзорское), Узбекистане (Кальмакыр, Сары-Чеку, Дальнее), Монголии (Эрдэнэтийн-Ово, Цаган-Сувурга), США (Бингем, Багдад, Сьеррита, Чинно, Минерал-Парк, Каса-Гранде, Твин-Бьюттс и др.), Аргентине (Эль-Пачон, Агуа-Рика), а также на Филиппинах, в Японии, Малайзии и др.

Вольфрам-молибденовые штокверковые и скарновые месторождения находятся в Китае (Сихуашань, Янцзячжанцзы, Хуанподи и др.), России (Орекитканское, Малоойногорское, Джидинское, Шахтаминское, Тырныауз и др.), Казахстане (Коктенкольское, Северо-Катпарское, Акчатауское, Восточно- и Северо-Коунрадские и др.), Монголии (Ондор-Цаган, Йэгзер, Арин-Нур) и др.

Различными аспектами геологии молибденовых и молибденсодержащих месторождений на глобальном и региональных уровнях в разное время занимались: Берзина А. П., Боголепов В. Г., Грабежев А. И., Денисенко В. К., Дистлер В. В., Золоев К. К., Кривцов А. И., Ларичкин В. А., Макеев Б. В., Мовсесян С. А., Павлова И. Г., Павловский А. Б., Перваго В. А., Повилайтис М. М., Покалов В. Т., Попов В. С., Пэк А. В., Рехарский В. И., Рундквист Д. В., Сотников В. И., Хрущов Н. А., Чухров Ф. В., Шанин Л. Л., Шипулин Ф. К., Щерба Г. Н., Яковлев П. Д., Field С. W., Hodder R. W., Hollister V. F., Hutchinson R. V., Gustafson L. В., Guild Р. W., Kesler S. E., Kirkham R. V., Lowder G.G., Lowell J.D., Sillitoe R. H. и др.

**Актуальность исследований.** Урал являлся и является одним из наиболее богатых минеральным сырьем регионов страны. В настоящее время из его недр добывается более 50 видов минерального сырья, но Уральский складча-

тый пояс не принадлежал к числу значительных TR и W-Мо областей Мира. Тем не менее, Урал явился пионером в создании минерально-сырьевой базы TR и W в нашей стране. В 1930-1940 г. г. в Вишневых горах началась и многие годы продолжалась разработка россыпных месторождений циркона и коренных месторождений пирохлора. Первые в России W рудники в конце девятнадцатого века были открыты на Урале, а добыча W продолжалась до второй половины 50-х годов прошлого столетия. Перед Великой Отечественной Войной и в годы войны на Урале добывались небольшие количества Мо. В настоящее время Урал не исчерпал свой TR и W-Мо потенциал.

На Урале имеются серьезные предпосылки создания долгосрочной минерально-сырьевой базы Мо и W. Так геологами Уральской геологосъемочной экспедиции открыты и в разной мере изучены: Южно-Шамейское месторождение Мо; Партизанское — W и Мо; Талицкое Си-Мо месторождение; комплексное ТR месторождение «Сибирка». Геологами Курганской геологоразведочной экспедиции выявлено и предварительно изучено крупное Коклановское месторождение W-Мо руд, к югу от которого протягивается широкая полоса геохимических аномалий Мо, W и Ве, заканчивающаяся на юге месторождением «Восток» и позволяющая прогнозировать выявление нескольких подобных месторождений. Кроме того, на Урале известны средние по запасам Мо-Си месторождения порфирового семейства, активно подготавливаемые к промышленному освоению.

Сложившаяся структура в молибденовой подотрасли РФ, когда подавляющая часть разрабатываемых месторождений Мо расположена на востоке страны, а металлургические предприятия — на Урале и западе страны, свидетельствует о целесообразности дальнейшего ведения поисковых работ, как в экономически освоенных районах Урала, так и на территории Приполярного и Полярного Урала. Строительство новой железнодорожной ветки в рамках программы «Урал промышленный - Урал Полярный» только ускорит этот процесс. В настоящее время объемы добычи минерального сырья из недр Урала превышают приросты их запасов.

**Цель и задачи исследований:** оценка эндогенной, экзогенной и техногенной молибденовой рудоносности Уральского складчатого пояса; выявление обстановок формирования и функционирования рудообразующих систем; установление закономерностей распределения месторождений в структурах разного порядка; выявление генетических особенностей, состава и строения рудных тел. Для достижения этой цели решались следующие задачи: 1) определение региональных и локальных геолого-структурных факторов локализации молибденовых и молибденсодержащих месторождений; 2) изучение геологического строения месторождений, вещественного состава руд и их структурнотекстурных особенностей; 3) выявление геохимических особенностей руд и метасоматитов; 4) определение изотопного состава серы сульфидов для решения вопросов источников рудного вещества; 5) изучение масштабов развития и особенностей проявления околорудных гидротермально-метасоматических пород, их минерального, химического состава и зональности как признаков, от-

ражающих условия формирования рудных месторождений; 6) определение места и значимости молибденовой минерализации в геологической истории Урала; 7) исследование рынков молибдена и вольфрама.

Методика исследований: полевое геологическое, минералогогеохимическое картирование пород, руд и околорудных метасоматитов; петрографическое, петрохимическое, геохимическое, петрофизическое, минералогическое исследование пород, руд и околорудных метасоматитов; применение современных компьютерных программ количественной обработки материалов: сбор опубликованных и фондовых материалов по геологии рудных месторождений Урала; установление формационной принадлежности рудных объектов; разработка и составление генетической типизации молибденовых проявлений Урала; обобщение и систематизация на формационном уровне молибденовых и молибденсодержащих месторождений в связи с проявлением магматизма в геологической истории Урала; изучение нетрадиционных для Урала экзогенных и техногенных молибденовых проявлений; анализ рынков вольфрама и молибдена.

Фактический материал, использованный в работе, получен автором за период с 1976 по 1990 г. г., при самостоятельных хоздоговорных работах и в научно-исследовательской Северной геологической (СНИГЭ). За этот период автором с коллективом исследователей были посещены и с разной степенью детальности изучены, описываемые в работе объекты Севера Урала. Кроме того, автор в содружестве с геологами Полярно-Уральской геологоразведочной экспедиции задокументировал, опробовал и в последующем обработал материалы по рудным объектам Хараматолоуской площади и Янослорскому рудопроявлению. В период с 1990 по 2004 г. г. автор познакомился с месторождениями Среднего и Южного Урала обработал, с применением корреляционного, кластерного, факторного анализов, результаты геохимического опробования Михеевского, Южно-Шамейского и Коклановместорождений, любезно предоставленные ского геологамипроизводственниками.

Научная новизна работы: 1) диссертация представляет собой первое теоретическое обобщение по проблеме геологии молибденовых и молибденсодержащих месторождений Урала; 2) предложена генетическая типизация молибденовых и молибденсодержащих месторождений Урала; 3) выявлены закономерности размещения основных рудно-формационных типов месторождений в структурах Урала; 4) установлена принадлежность уральских месторождений порфирового семейства к четырем рудно-метасоматическим формациям, одна из которых в геологической истории региона проявилась неоднократно; 5) впервые выделены нетрадиционные типы молибденсодержащих объектов: коры выветривания, молибденсодержащие торфа, отходы горного производства, обогащения, пирометаллургических и энергетических производств.

## Практическая значимость работы:

- принципы построения генетической типизации молибденовых месторождений могут быть использованы при изучении других рудных полезных иско-

#### паемых;

- выделены перспективные площади для поисков новых молибденовых и молибденсодержащих месторождений;
- составлена карта рудоносных метасоматических формаций Полярного Урала масштаба 1:200000, как основа прогнозной оценки территории на молибденовые и молибденсодержащие месторождения;
- составлена карта рудоносных метасоматических формаций и метаморфизма Малопатокской площади масштаба 1:200000, как основа прогнознопоисковых работ на молибден;
- предложенная методика анализа рынков молибдена и вольфрама применима для любых видов минерального сырья.

Реализация результатов исследования осуществлялась в ходе выполнения хоздоговорных работ по заказу ПГО «Полярноуралгеология», «Главтюменьгеология», Полярно-Уральской геологоразведочной экспедиции, ПГО «Уралкварцсамоцветы». Результаты работ приняты заказчиком и внедрены в производство для повышения эффективности геологоразведочных работ. Методические и теоретические аспекты исследования используются в лекциях по курсам: «Маркетинг минерального сырья», «Основы малого бизнеса в геологии» на кафедре ГлЗЧС и «Геология месторождений полезных ископаемых» на кафедре ГПР МПИ.

В целом результаты исследований приняты для использования в работах в структурных подразделениях ОАО «Уральская геологосъемочная экспедиция» (акт внедрения от 16 июня 2009 г.)

Публикации и апробация работы. Основные положения диссертации изложены в восьми статьях в журналах из Перечня ведущих рецензируемых научных изданий, в двух монографиях, одной коллективной монографии и в 80 работах в журналах, сборниках и материалах конференций.

Основные научные и практические выводы докладывались и обсуждались на Международных, Всесоюзных и Всероссийских совещаниях, симпозиумах и конференциях: «Эндогенное оруденение в подвижных поясах» (Екатеринбург, 2007), «Рудоконтролирующие факторы и условия образования месторождений редких и цветных металлов в осадочных породах» (Москва, 1979), «Металлогения Урало-Монгольского складчатого пояса» (Алма-Ата, 1983), «Стратиформные месторождения цветных металлов» (Алма-Ата, 1985), «Генетические модели эндогенных рудных формаций» (Новосибирск, 1985), «Геология и минерально-сырьевые ресурсы Европейского северо-востока СССР» (Сыктывкар, 1988), «Комплексное использование вольфрамовых месторождений в СССР» (Ленинград, 1981, 1986), «Метасоматизм и рудообразование» (Ленинград, 1982, 1987, Екатеринбург, 1997), «IX Всесоюзный симпозиум по стабильным изотопам в геохимии» (Москва, 1982), «Теория и практика геохимических поисков в современных условиях» (Ужгород, 1988), «Условия образования и закономерности размещения стратиформных месторождений цветных, редких и благородных металлов (Фрунзе, 1985), Уральская минералогическая школа – 2007: «Под знаком марганца и железа» (Екатеринбург, 2007),

«Наука и технологии. XXVII Российская школа, посвященная 150-летию К. Э. Циолковского, 100-летию С. П. Королева и 60-летию Государственного ракетного центра «КБ им. академика В. П. Макеева» (Миасс, 2007); на межрегиональных и региональных конференциях: «Рудоносные метасоматические формации Урала» (Свердловск, 1981, 1986, 1991), «Геология и минеральносырьевые ресурсы Западно-Сибирской плиты и ее складчатого обрамления» (Тюмень, 1982, 1983, 1985), «Геология и минерально-сырьевые ресурсы европейской территории России и Урала (Екатеринбург, 2000), «Наука и оборонный комплекс – основные ресурсы российской модернизации» (Екатеринбург, 2002) и др.

#### Структура и содержание диссертации

Диссертация состоит из введения, 5 глав, заключения и списка литературы, общим объемом 409 страниц машинописного текста, содержит 102 таблицы и 95 рисунков. Библиографический список включает 320 опубликованных и фондовых источников.

Глава 1 посвящена систематике молибденовых и молибденсодержащих месторождений и определению их места в геологической истории развития региона. В главе 2 рассматриваются эндогенные молибденоворудные формации. Приводится систематика и описание месторождений порфирового семейства, включающего объекты медно-молибденовой кварц-полевошпатовой, молибденово-медной кварц-серицитовой, молибденово-медной пропилитовой и медной пропилитовой формаций. Описаны месторождения и проявления вольфрам-молибденовой грейзеновой и кварц-молибденовой грейзеновой ций. Дается сравнительная характеристика месторождений, сформировавшихся в различные металлогенические эпохи, определена их практическая значи-В главе 3 описываются эндогенные молибденсодержащие формации: редкометалльная альбититовая, редкометалльно-вольфрамовая грейзеновая, редкометалльная пегматитовая, редкометалльная карбонатитовая, медноскарновая, а также месторождения колчеданного семейства. магнетитовая Глава 4 посвящена описанию нетрадиционных проявлений молибдена. сматриваются коры выветривания, молибденсодержащие торфы. Приводится характеристика некоторых молибденсодержащих техногенных образований: отходов обогащения, шлаков и зол. В главе 5 на основе маркетингового исследования Азиатского, Американского, Европейского, Российского и Мирового рынков вольфрама и молибдена, с применением корреляционного, кластерного, регрессионного и факторного анализов, определены особенности рынков и сделан прогноз их развития. Определена товарная стоимость эндогенных молибденоворудных объектов различной формационной принадлежности и выполнена прогнозная оценка территории Урала в масштабе 1:1000 000 на выявление объектов вольфрам-молибденовой грейзеновой формации.

Достоверность защищаемых положений определяется значительным числом изученных месторождений и рудопроявлений различной формационной принадлежности и представляющих различные рудные районы Урала, большим количеством используемого фактического геологического материала, получен-

ного как лично соискателем, так и заимствованного из многочисленных отчетов и публикаций.

Благодарности. Работа выполнена в Уральском государственном горном университете на кафедре «Геологии и защиты в чрезвычайных ситуациях». Руководству университета и кафедры: профессорам Носыреву Б. М., Талалаю А. Г., Болтырову В. Б. за внимание, поддержку и помощь автор выражает свою искреннюю признательность. Исследования автора начинались под руководством профессора О. Н. Грязнова, доцента В. И. Чеснокова, профессора В. А. Душина и долгие годы проводились в содружестве с коллегами по университету и специалистами других научно-исследовательских и производственных ор-На характер проведенных исследований оказали существенное влияние принципы и идеи многих исследователей: А. И. Грабежева, О. Н. Грязнова, К. К. Золоева, Е. С. Контаря, И. К. Кривцова, Б. И. Омельяненко, М. С. Рапопорта, Д. В. Рундквиста, В. Н. Сазонова, И. Д. Соболева, и др. Написанию работы способствовали совместная работа и общение с В. П. Алексеевым, В. В. Бабенко, В. В. Григорьевым, А. Б. Макаровым, А. А. Малюгиным, В. Н. Огородниковым, В. Ф. Рудницким, В. Н. Сазоновым и многими другими. Значительную помощь в математической обработке материалов оказал В. С. Балахонов. Автор выражает благодарность всем, кто помогал проведению и завершению исследований.

Особую благодарность автор выражает научному консультанту О. H. Грязнову.

### СОДЕРЖАНИЕ РАБОТЫ

Положение 1. Эндогенные молибденовые и молибденсодержащие месторождения Урала принадлежат к группам плутоногенных, плутоногенно-вулканогенных, вулканогенных и метаморфогенных руднометасоматических формаций. Разновозрастный и разнофациальный магматизм и метаморфизм при конкретных параметрах физических полей контролируют положение месторождений в региональных структурах.

В пределах Уральского складчатого пояса известно несколько сотен молибденовых и молибденсодержащих месторождений и рудопроявлений. Концентрации Мо встречаются в кварцевых жилах и штокверках, грейзенах, скарнах, гумбеитах и других метасоматически измененных породах. На одних месторождениях Мо ассоциирует с W и TR, на других - с Cu и Fe. Метасоматические породы, с которыми связано Мо оруденение, также весьма разнообразны. Разнообразна и геодинамическая обстановка, в которой формировались эндогенные месторождения Мо. Кроме того, повышенные концентрации Мо отмечаются в корах выветривания, в углях, торфах, а также в отходах пирометаллургических производств и золоотвалах электростанций. В связи с вышеизложенным, возникает необходимость генетической типизации молибденовых и молибденсодержащих месторождений Урала.

Существующие классификации молибденовых месторождений (Покалов, 1972, 1997, Хрущев, 1961, Грабежев, 1980, Павлова, 1978 и др.) как прави-

ло, рассматривают только эндогенные месторождения. Предлагаемая типизация молибденовых и молибденсодержащих месторождений Урала включает в себя эндогенные и экзогенные объекты (табл. 1). Молибденсодержащие техногенноминеральные образования изучены слабо. Они требуют постановки специализированных исследований и находятся в стадии геологического, технологического, экологического доизучения.

Таблица 1 Генетические типы молибденовых и молибденсодержащих месторождений Урала

Серия	Группа	Класс	Полезное ископае- мое	Практическая значимость в отношении Мо	Примеры месторождений
		Пегматитовый	TR, Mo	Незначительная	Полуденское
	_	Карбонатитовый	TR	Мо-попутный	Сибирка
	Плутоногенная	Известково-	Fe, Cu,	Мелкие ме-	Немуръюган-
		скарновый	Mo	сторождения	ское
		Альбититовый	TR	Мо-попутный	Тайкеуское
		Грейзеновый	Mo, W,	Крупные и сред-	Южно-
			TR	ние месторожде-	Шамейское,
				<b>R</b> ИН	Коклановское
Эндогенная		Гумбеитовый	W	Незначительная	Гумбейское
ен		Пропилитовый	Cu	Незначительная	Салаватское
		Кварц-серицитовый	Cu, Mo	Средние	Михеевское,
Эн,	Плутоногенно-	(оксеталитовый)		месторождения	Лекын-
	вулканогенная				Тальбейское
		Кварц-	Mo, Cu	Средние	Талицкое
		полевошпатовый		месторождения	
		Лиственит-	Au, Pb,	Мо-примесь в	Березовское
		березитовый	Zn, TR	сульфидах	
		Аргиллизитовый	U, Mo, Au	Мо-попутный	Объекты Урала
	Вулканогенная	Кварц-серицит-	Cu, Zn,	Мо-примесь в	Тышорское
		хлоритовый	Pb, Ba	сульфидах	
		Гидрослюдистый	U, Mo	Незначительная	Объекты Урала
	Метаморфоген-	Метаморфический	TR, Mo	Не ясна	Кедровский уча-
	ная				сток
	Осадочная	Биохимический	Уголь,	Не ясна*	Кизеловское,
ная			торф		Адуйский тор-
ен					фяник
Экзогенная		Коры	Cu, Mo	Значимая на	Михеевское,
Эк	Остаточная	выветривания		промышленных	Южно-
				объектах	Шамейское
* - BC	жинчотой йынжомго	Мо в недалеком будуще	ем		

Эндогенные месторождения предлагается систематизировать на основе рудно-метасоматических формаций.

При средне-крупномасштабных металлогенических исследованиях, как правило, рудные объекты рассматриваются на формационном уровне (месторождения объединяются в рудные формации, а околорудноизмененные породы - в метасоматические формации). По характеру временных и простран-

ственных взаимоотношений метасоматические формации сопровождаются синхронным, сопряженным (или сопутствующим) и наложенным оруденением. Это свидетельствует о необходимости выделения рудно-метасоматических формаций (ассоциаций). Последние отвечают генетически или парагенетически (по сопроисхождению или сонахождению) связанным системам гидротермально измененных пород и руд (скарновая железорудная, альбититовая редкометальная, грейзеновая вольфрам-молибденовая и др.) (Грязнов, 1988, 1992). Подобный подход был применен при классификации золоторудных и золотосодержащих месторождений Урала (Сазонов, Мурзин, 1989).

Вопросам металлогении Урала и ее эволюции в процессе формирования земной коры посвящены работы Алексеева А. А., Баклаева Я. П., Баранникова А.Г., Болтырова В. Б., Верховцева В. А., Грабежева А. И., Грязнова О. Н., Душина В. А., Дымкина А. М., Захарова А. А., Захаровой А. А., Золоева К. К., Исмагилова М. И., Казака А. П., Камаллетдинова М. А., Контаря Е. С., Коротеева В. А., Левина В. Я., Лучинина И. Л., Львова Б. К., Мареичева А. М., Мормиля С. П., Мурзина В. В., Нечеухина В. Н., Овчинникова Л. Н., Огородникова В. Н., Охотникова В. Н., Попова Б. А., Прокина В. А., Рапопорта М. С., Рудницкого В. Ф., Рундквиста Д. В., Сазонова В. Н., Серавкина А. А., Силаева В. И., Смирнова С. С., Тимергазиной А. Г., Ферштатера Г. Б., Фишмана М. В., Штейнберга Д. С., Шуба В. С., Юшкина Н. П. и др.

Рудные месторождения Урала формировались в различные металлогенические эпохи и в различных геодинамических обстановках. Естественно, что на их генезис существуют различные точки зрения. Это обусловлено объективными и субъективными факторами (развитие науки и техники, конъюнктура, мировоззрение, приверженность определенным направлениям, различная трактовка понятий и терминов и др.).

Анализ опубликованной и фондовой литературы, а также собственных материалов позволил выделить рифейско-раннекембрийскую, раннепалеозойскую, среднепалеозойскую, среднепалеозойскую, позднепалеозойскую и позднепалеозойско-мезозойскую металлогенические эпохи формирования молибденоворудных и молибденсодержащих формаций на Урале (Елохин, 2006).

В рифейско-раннекембрийскую металлогеническую эпоху в условиях островодужной обстановки образовались месторождения молибденово-медной кварц-серицитовой, медно-цинково-колчеданной кварц-серицит-хлоритовой и серно-медно-колчеданной кварц-серицит-хлоритовой формаций. Развитие месторождений вольфрам-молибденовой грейзеновой и медно-молибденмагнетитовой скарновой формаций обусловлено проявлением коллизионного магматизма. Молибденовые и молибденсодержащие месторождения этого возрастного диапазона зафиксированы в пределах Центрально-Уральской мегазоны, в Полярно-Уральском и Ляпинско-Кутимском мегаблоках.

Раннепалеозойской металлогенической эпохе свойственны рифтовые редкометалльная углеродисто-кремнистая, редкометалльная карбонатитовая, редкометалльно-вольфрамовая грейзеновая формации и островодужная медно-

цинково-колчеданная кварц-серицит-хлоритовая (уральский тип) формация. Собственно молибденовых месторождений этого возраста на Урале не установлено.

Формирование молибденовых и молибденсодержащих месторождений в среднепалеозойское время происходило в островодужных условиях, океанического спрединга и рифтогенной активизации. В связи с проявлением островодужного магматизма развиты месторождения молибденово-медной пропилитовой, барит-медно-цинково-колчеданной кварц-серицит-хлоритовой (алтайский тип), медно-цинково-колчеданной кварц-серицит-хлоритовой (уральский тип), пропилитовой, молибденово-медной кварц-серицитовой меднопорфировой формаций. условиях океанического спрединга развивались колчеданные кварц-серицит-хлоритовые (кипрский тип) месторождения. Объекты редкометалльно-полиметаллической березит-лиственитовой молибденовой кварц-гидрослюдистой формаций установлены в связи с проявлением магматизма рифтогенной активизации (Душин, 1997).

В средне-позднепалеозойскую металлогеническую эпоху в условиях активной окраины формировались месторождения железо и медно-железорудной скарновой, золотосульфидно-кварцевой березит-лиственитовой формаций (Сазонов и др., 1999), а также молибденоносные угли. Коллизионный магматизм этого возрастного периода обусловил развитие объектов вольфраммолибденовой грейзеновой формации.

Позднепалеозойской металлогенической эпохе свойственны месторождения, относящиеся к шеелитовой гумбеитовой, редкометалльным пегматитам, кварц-молибденовой грейзеновой, редкометалльно-вольфрамовой грейзеновой и редкометалльной альбититовой формациям. Их формирование связано с проявлением коллизионного магматизма. В условиях позднепалеозойской переходной и раннеколлизионной геодинамической обстановки образовывались месторождения молибденово-медной кварц-серицитовой и медно-молибденовой кварц-полевошпатовой формаций.

Позднепалеозойско-мезозойская внутриплитная активизация обусловила формирование месторождений уран-молибденовой аргиллизитовой и вольфрам-молибденовой грейзеновой формаций.

Эволюцию молибденовых и молибденсодержащих месторождений иллюстрирует таблица 2.

Урал характеризуется сложным блоковым строением, которое подчеркивается наличием многочисленных разломов диагональных и ортогональных систем, различающихся порядком, возрастом заложения и подновления.

Участки пересечения, сопряжения или подновления структурных форм различного происхождения и порядков контролировали развитие полихронного магматизма и постмагматической деятельности. Так, наибольшим разнообразием эндогенной минерализации отличаются формации коллизионного этапа развития с редкометалльно-вольфрам-молибденовой металлогенической специализацией литофильного (редкометалльная альбититовая, вольфраммолибденовая грейзеновая, редкометалльно-вольфрамовая грейзеновая, ред-

кометалльная пегматитовая) и халькофильно-литофильного (шеелитовая гумбеитовая, медно-молибден-магнетитовая скарновая, медно-молибденовая кварц-полевошпатовая) профиля. Размещение серно-медно-колчеданных и медно-цинково-колчеданных кварц-серицит-хлоритовых месторождений обязано развитию раннеостроводужных базальтоидов натровой серии. Некоторые молибденоворудные и молибденсодержащие формации в истории геологического развития Урала проявлялись неоднократно, что объясняется полихронностью магматических процессов.

Таблица 2 Эволюция молибденовых и молибденсодержащих месторождений Урала

лог	кала гео- ического ремени	Ι	Сенет	ическ	ие кл	ассы			оворуд ожде		молибд	ценсоде	ржащ	ΙX
Период	Возраст млн. лет	Пегматитовый	Карбонатитовый	Скарновый	Альбититовый	Грейзеновый	Гумбеитовый	Пропилитовый	Кварц-серицитовый	Кварц- полевошпатовый	Березит- лиственитовый	Кварц-серицит- хлоритовый	Аргиллизитовый	Гидрослюдистый
Т	200±1 251±3					Mo W							U Mo	
P	295±5	TR Mo				TR W							•	
С	(360)			Fe Cu	TR		l <sup>w</sup>		Cu Mo	Mo Cu	Au ∎ TR			
D	9					Mo W		Cu Mo	Cu Mo		Pb Zn	Cu Zn Ba		U Mo
S	418±2 443±2											Cu Zn		1
О	490±2		TR Mo			TR W Mo					Pb Zn Ba			
$\epsilon$						 								
v	535±1			Fe Cu Mo		Мо								
R <sub>3</sub>	600±10			1		1			Cu Mo			Cu Zn Pb		
	1030±30													

Блоки земной коры, к которым приурочены молибденовые и молибденсодержащие месторождения характеризуются различными параметрами физических полей. Их характеристики будут показаны ниже, при рассмотрении конкретных рудных формаций.

Общеизвестно значение структурных факторов (дизъюнктивные и пликативные структуры I, II, III и более высоких порядков) в размещении месторож-

дений. Так, структурой I порядка контролирующей положение медно- и медно-цинково-колчеданных кварц-серицит-хлоритовых месторождений является Тагильско-Магнитогорский прогиб (мегазона), в пределах которого сосредоточено подавляющее большинство рудных объектов. Значительная часть вольфрам-молибденовых грейзеновых проявлений пространственно приурочена к Восточно-Уральскому поднятию (мегазоне), в то время как наиболее крупные месторождения данного формационного типа выявлены в пределах Зауральского поднятия (мегазоны). Структурами III и более высоких порядков, контролирующими собственно молибденовые объекты являются антиклинорные структуры (вольфрам-молибденовая грейзеновая формация).

Таким образом, положением молибденоворудных и молибденсодержащих месторождений Урала в региональных структурах; связью (генетической и парагенетической) с определенным типом магматизма; пространственной приуроченностью к блокам, характеризующимися различными значениями параметров физических полей; сменой температур, давления и концентраций во времени и пространстве объясняется эволюция молибденовых и молибденсодержащих месторождений в истории геологического развития региона.

Положение 2. Среди эндогенных молибденоворудных формаций Урала практическую значимость, в отношении молибдена, определяют месторождения вольфрам-молибденовой грейзеновой формации, а также месторождения порфирового семейства, которые включают объекты медномолибденовой кварц-полевошпатовой и молибденово-медной кварц-серицитовой формаций.

К собственно молибденовым объектам автор относит месторождения, в которых молибден является основным или одним из основных полезных компонентов. Среди молибденовых объектов Урала выделяются проявления вольфрам-молибденовой грейзеновой, кварц-молибденовой грейзеновой формаций и месторождения порфирового семейства.

# Вольфрам-молибденовая грейзеновая формация

На генезис и формационную принадлежность молибденовых месторождений Урала существуют различные точки зрения. Не вдаваясь в дискуссию отметим, что автор, как и в работе [Рундквист, 1970], к месторождениям грейзеновой формации относит месторождения, в которых рудообразование сопряжено (пространственно и во времени) с процессами грейзенизации вмещающих пород (метасоматоз с участием летучих F, B, Cl, протекающий в широком диапазоне давлений при эволюции кислотности-щелочности растворов и проявляющийся в связи с постмагматической деятельностью гранитных интрузий). Естественно, что эти месторождения могут подразделяться по набору наиболее распространенных метасоматических фаций (кварц-мусковитовые, мусковитовые, кварц-флюоритовые и т. д.), по морфологии рудных тел (жильные, штокверковые, прожилково-вкрапленные и т. д.), по составу главных и второстепенных рудных минералов (минеральный тип или рудная фация), по геохимической специализации (вольфрам-молибденовые оловоносные, молибденовые с

висмутом и бериллием и т. д.), по способу образования (замещение, выполнение) и др. Таким образом, исходя из минерального состава околорудных метасоматитов (метасоматических колонок), химизма процесса метасоматического преобразования вмещающих пород, геохимической и металлогенической специализации, связи с магматическими породами, структурных позиций и геодинамических обстановок рассматриваемые объекты отнесены к вольфраммолибденовой грейзеновой формации.

На Урале известно несколько десятков месторождений и рудопроявлений, принадлежащих к вольфрам-молибденовой грейзеновой формации. Большинство объектов расположено в Восточно-Уральской мегазоне — 56,4 %, меньше - в Центрально-Уральской - 28,2 % и Зауральской мегазонах - 10,3 % и лишь несколько проявлений выявлены в пределах Тагильско-Магнитогорской мегазоны — 5,1 %. Следует отметить, что значительная часть вольфраммолибденовых грейзеновых проявлений тяготеет к переходным зонам (границам структур I порядка). Практически все объекты приурочены к приподнятым блокам (антиклинорным структурам III порядка).

В истории развития Урала устанавливается несколько металлогенических эпох, с которыми связано формирование месторождений вольфраммолибденовой грейзеновой формации: рифейско-раннекембрийская, среднепозднепалеозойская и позднепалеозойско-мезозойская. Следует отметить, что в направлении с севера на юг и с запада на восток отмечается «омоложение» молибденовой минерализации. Кроме того, в направлении с запада на восток происходит «укрупнение» молибденовых объектов. Так, наиболее значимые по запасам месторождения (Коклановское, Дрожиловское, Смирновское) выявлены в Зауральской мегазоне, а Южно-Шамейское месторождение приурочено к восточной границе Восточно-Уральской мегазоны.

С целью выяснения положения месторождений и рудопроявлений |вольфрам-молибденовой грейзеновой формации в физических полях Урала использованы материалы (карты масштаба 1:1 000 000) Е. М. Ананьевой, Н. Г. Берлянд, М. Б. Бородаевской, В. С. Дружинина, З. И. Дудкиной, Н. Я. Екидиной, А. Н. Калабурдиной, Н. С. Кузнецовой, А. И. Кривцова, П. С. Ревякина, Э. А. Ревякиной, В. М. Рыбалки, Б. Г. Семеновой и др. и выполнены корреляционный, кластерный и факторный анализы.

Проведенные исследования позволяют сделать следующие выводы:

- наиболее значимые по запасам месторождения сосредоточены в Зауральской мегазоне;
- параметры физических полей отражают неоднородность земной коры Урала и ее блоковое строение, месторождения вольфрам-молибденовой грейзеновой формации различных металлогенических эпох характеризуются пространственной приуроченностью к определенным блокам;
- 51,3 % месторождений находятся в блоках, у которых мощность коры составляет 55,0-60,0 км; 23,1 % с мощностью коры 50,0-55,0 км; 23,0 % месторождения в блоках с мощностью коры 45,0-50,0 км и 2,6 % с мощностью 60,0-65,0 км;

- 61,5 % Мо объектов расположены в блоках, основность которых составляет 1,8-2,0 г/см $^3$ ; 38,5 % объектов в блоках с основностью 2,0-2,4 г/см $^3$ ;
- блоки, в которых стратоизогипсы поверхности базальтового слоя находятся в пределах от -20,0 до -25,0 км содержат 53,8 % рудных объектов, блоки, в которых поверхность базальтового слоя находится на глубинах от -15,0 до -20,0 км, вмещают 43,6 % молибденовых проявлений;
- в блоках с плотностью коры 2,85-2,89 г/см<sup>3</sup> находится 71,8 % рудных объектов, а в блоках с плотностью 2,90-2,93 г/см<sup>3</sup> установлено 28,2 % рудопроявлений;
- масштабы объектов не зависят от интенсивности физических полей, но имеют обратную связь с мощностью земной коры;
- отсутствие связей между физическими полями и масштабом объектов, по-видимому, объясняется тем, что физические поля отражают современное состояние Урала, в то время как месторождения вольфрам-молибденовой грейзеновой формации формировались в три металлогенические эпохи (рифейскораннекембрийскую, средне-позднепалеозойскую и позднепалеозойскомезозойскую).

Месторождения вольфрам-молибденовой грейзеновой формации рифейско-раннекембрийской металлогенической эпохи развиты в пределах Центрально-Уральской мегазоны, в Полярно-Уральском (рис. 1) и Ляпинско-Кутимском (Малопатокская площадь) мегаблоках (рис. 2).

Полярный Урал характеризуется сложным блоковым строением, обусловленным сопряжением добайкальских и байкальских северо-западных структур с каледоно-герцинскими структурами близмеридионального северо-восточного направления. Древние складчатые сооружения переработаны уральской складчатостью и плутонометаморфизмом, что существенно затушевало первичный структурный план. Мозаичность территории подчеркивается наличием многочисленных разломов диагональных, ортогональных систем, различающихся порядком, возрастом заложения и подновления. Участки пересечения, сопряжения или подновления структурных форм различного происхождения и порядков контролировали развитие полихронного магматизма и постмагматической деятельности. В структурно-вещественных комплексах Полярного Урала достаточно отчетливо проявилась латеральная и вертикальная полиформационная метасоматическая зональность. Латеральная зональность фиксируется последовательной сменой от центра к периферии высокотемпературных рудоносных метасоматитов средне-и низкотемпературными.

Кроме полихронной формационной зональности, имеются примеры развитая температурной зональности (смена грейзенов березитами на фланге Харбейского месторождения, смена альбититов грейзенами на Тайкеуском месторождении и др.). Естественно, что внутри полиформационной зональности всегда появляется моноформационная (монофациальная) зональность отложения, обусловленная сменой физико-химических условий минералообразования.

В пределах Малопатокской площади Ляпинско-Маньхамбовского антиклинория (Приполярный Урал) также проявлена метасоматическая

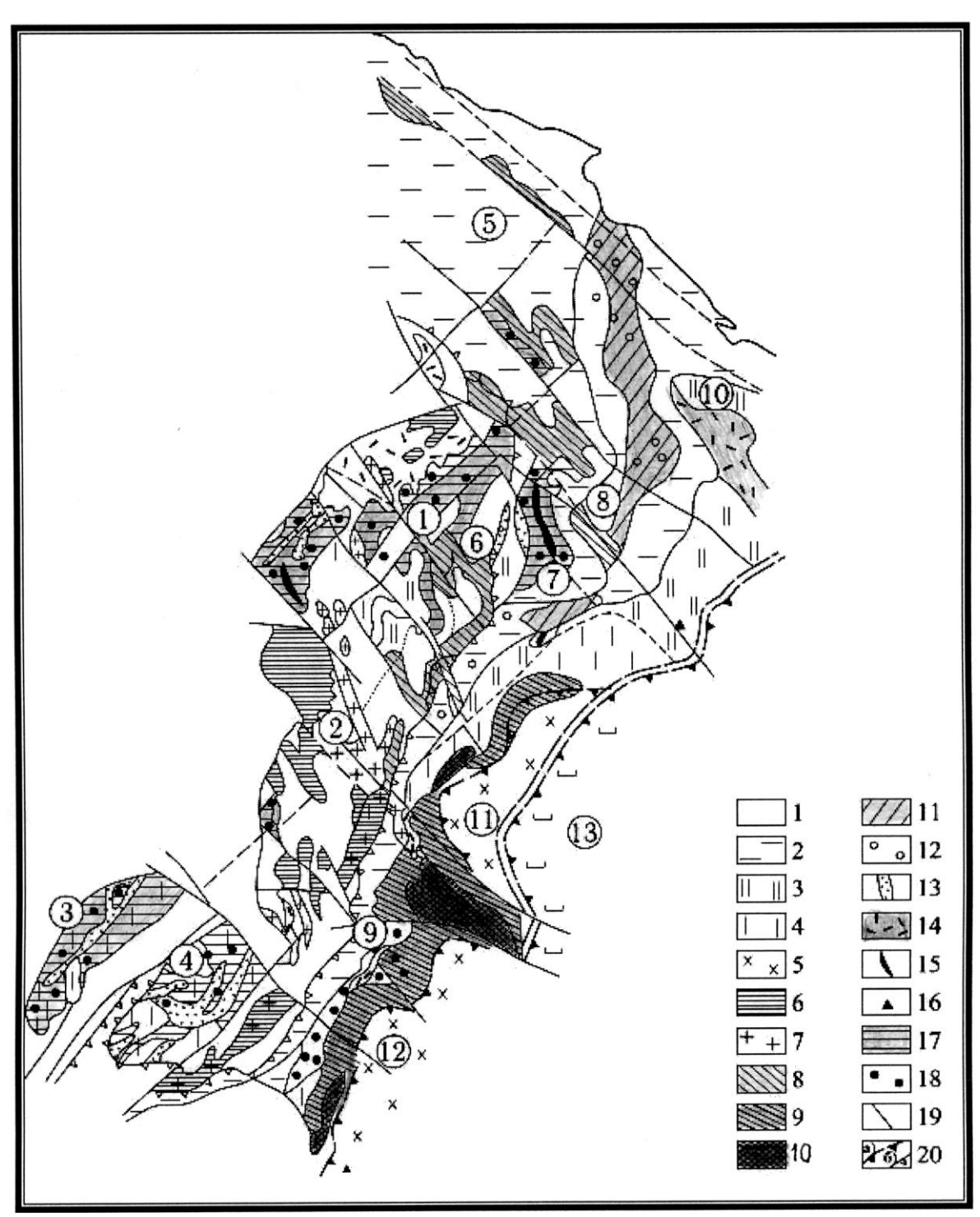


Рис. 1. Схематическая карта метасоматических формаций Полярно-Уральского мегаблока

# (по В. В. Григорьеву, О. Н. Грязнову, В. А. Елохину, В. И. Чеснокову)

Геологические формации (название формаций по Душин, 1997). Верхний структурный этаж: 1 – известняково-песчано-алевритовая ( $O_{2-3}$ ), алеврито-песчаная ( $O_{1-2}$ ). Зеленосланцевый метаморфизм эпидот-хлоритовой фации. 2 – известняково-песчано-алевритовая ( $O_{1-2}$ ), песчаноглинисто-алевритовая углеродистая ( $O_{1-2}$ ), натриевых базальтов-риолитов ( $O_{1-2}$ ), песчаногланеная ( $O_{3}$ - $O_{1}$ ), трахибазальтовая ( $O_{3}$ - $O_{1}$ ), зеленосланцевый метаморфизм эпидот-хлорит-актинолитовой фации. Средний структурный этаж (зеленосланцевый метаморфизм эпидот-хлорит-мусковитовой фации по метапелитам; зеленосланцевый метаморфизм эпидот-хлорит-актинолитовой фации по метабазитам): 3 – галечно-алеврито-

песчаная (V-Є), алеврито-песчаная (V-Є), базальт-риолитовая (V-Є), известняково-алевритоглинистая углеродисто-кремнистая (R<sub>4</sub>-V), известняково-песчано-глинисто-алевритовая (R<sub>4</sub>-V), базальт-андезит-дацитовая  $(R_4-V)$ ; 4 - глинисто-песчано-алевритовая углеродистая  $(R_{3-4})$ , натриевых базальтов-риолитов (R<sub>3-4</sub>). Нижний структурный этаж (эклогитовая и амфиболитовая фации метаморфизма): 5 – алеврито-глинисто-песчаная (PR), метабазальтовая(PR). Руметасоматические формации: 6 гидрослюдистая полиметаллическая и регенерированных медистых песчаников; 7 – березит-лиственитовая полиметаллическая; 8 – березит-лиственитовая барит-полиметаллическая; 9 – грейзеновая вольфрам-молибденовая; 10 – альбититовая редкометалльная; 11 – лиственит-березитовая колчеданно-полиметаллическая; 12 – пропилитовая с непромышленной вкрапленностью сульфидов: 13 – лиственит-березитовая золото-сульфидно-кварцевая: 14 – кварцсерицитовая (березитовая?) редкометалльно-полиметаллическая; 15 – кварц-серицитовая (оксеталитовая) молибденово-медная; 16 – известковистых скарнов с медно-магнетитовым и полиметаллическим оруденением; 17 - кварц-серицит-хлоритовых метасоматитов медноцинково-колчеданная; 18 – пропилитовая с непромышленной вкрапленностью сульфидов. 19 - геологические границы. 20 - разломы: а) 1-го порядка, б) П-Ш порядков. Региональные структуры (цифры в кружках): 1 - Оченырдская антиклиналь. 2 - Саурипейская антиклиналь. 3 — Енганэпейская антиклиналь. 4 — Манитанырдская антиклиналь. 5 — Талотинский прогиб. 6 - Саурейская синклиналь. 7 - Лекын-Тальбейская антиклиналь. 8 - Хала-Тальбейская синклиналь. 9 – Пайпудынская синклиналь. 10 – Нундерминская антиклиналь. 11 – Марункеуская антиклиналь. 12 – Ханмейско-Харбейская антиклиналь. 13 – Щучьинский синклинорий.

зональность, выразившаяся, в региональном плане, в развитии различных рудно-метасоматических формаций в зависимости от истории становления отдельных ее структур и проявления в их пределах определенного типа магматизма (рис. 2).

W-Мо грейзеновые месторождения Урала, сформировавшиеся в различные металлогенические эпохи, характеризуются рядом общих признаков, но в то же время имеются и определенные отличия (табл. 3).

Все без исключения месторождения приурочены к антиклинальным структурам и контролируются зонами тектонических нарушений, имеющих различное физическое выражение: зоны дробления, брекчирования, повышенной удельной трещиноватости, катаклаза, милонитизации. Минерализация развита в апикальных частях гипабиссальных гранитных массивов и расположена в их эндо- и экзоконтактах. Гранитные массивы, с которыми генетически связана рудная минерализация, специализированы на молибден и серебро. Сопряженные с рудами метасоматиты принадлежат к грейзеновой формации околорудных метасоматитов. Грейзены занимают вполне определенное положение в региональной полиформационной зональности. Процесс грейзенизации на месторождениях начинается с ранней щелочной стадии (кварц-полевошпатовая фация) и завершается жилообразованием и рудоотложением. Основными рудными минералами на всех месторождениях являются молибденит и, в меньшей степени, шеелит. Руды характеризуются близкими геохимическими спектрами. В зависимости от физико-химических условий образования, уровня эрозионного среза, состава исходных пород, подвергшихся метасоматическому преобраразличные метасоматические и рудные фации зованию, выделяются

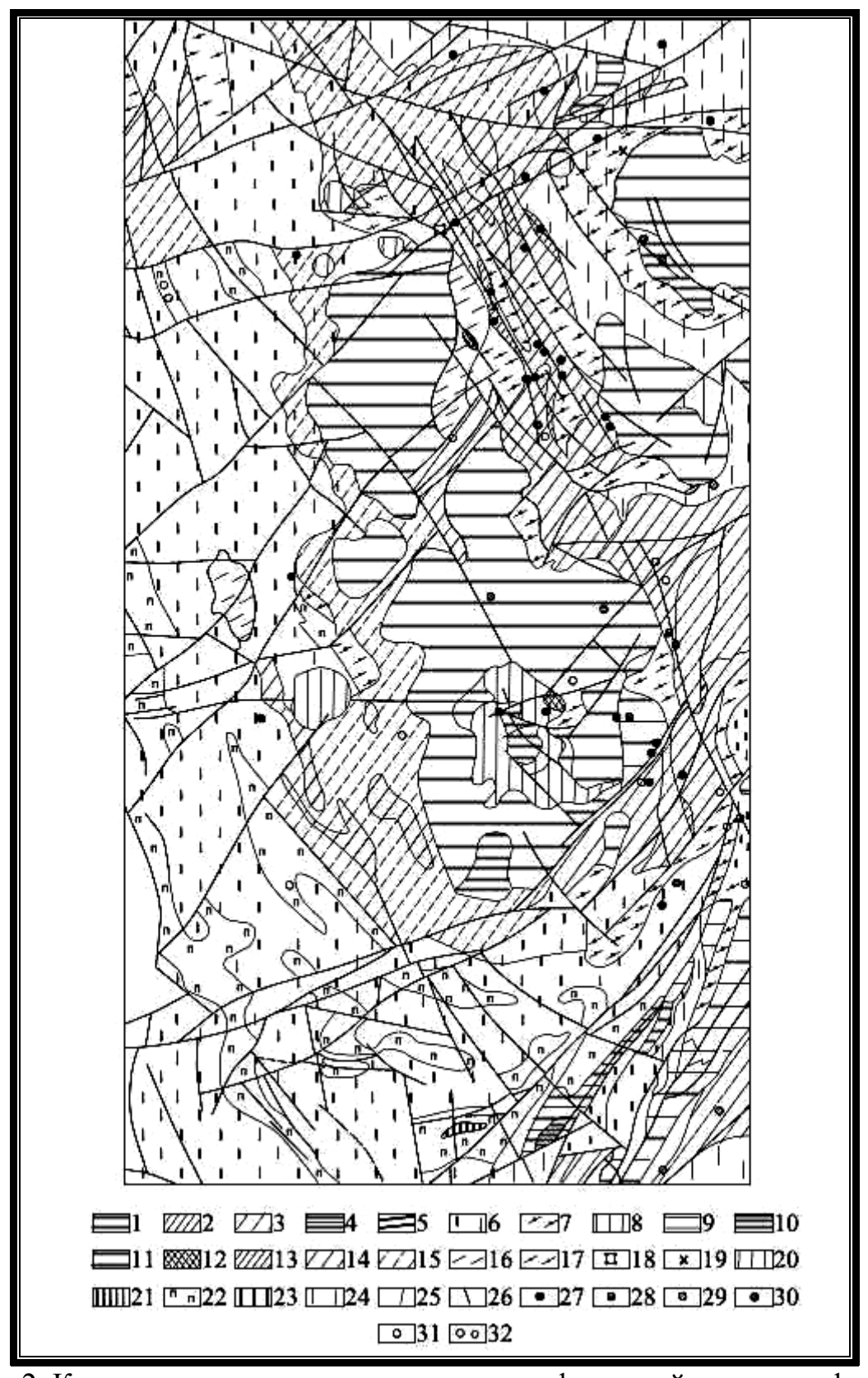


Рис. 2. Карта рудоносных метасоматических формаций и метаморфизма Малопатокской площади Приполярного Урала

(по В. И. Чеснокову, В. В. Григорьеву, В. А. Елохину, О. Н. Грязнову) Метасоматические формации и фации метаморфизма. 1 – грейзеновая формация, грейзенизированные гранитоиды кулемшорского габбро-гранитного комплекса\* (Є<sub>3</sub>-О); 2-5 – лиственит-березитовая формация: 2 – березиты, связанные с пайпудынским трахириолитовым ком-

плексом (С<sub>3</sub>-О); 3 – ареал возможного развития березитизации в вулканогенных породах пайпудынского комплекса; 4 – березиты, связанные с лорцемпейским трахибазальтовым комплексом ( $\mathcal{C}_3$ -O); 5 – березитизированные породы лорцемпейского коплекса; 6 – пропилитовая формация, связанная с лорцемпейским комплексом; 7 – ороговикованные породы (кварц-биотитовая минеральная ассоциация), связанные с внедрением кулемшорских гранитоидов; 8 – зеленокаменноизмененные породы (актинолит-эпидот-хлорит-серицитовая минеральная ассоциация) сивъягинско-манарагского габбро-сиенит-монцонитового комплекса  $(\epsilon$ -O); 9 – зеленокаменноизмененные габброиды (актинолит-эпидот-хлоритовая минеральная ассоциация) кулемшорского комплекса ( $\epsilon_3$ -O); 10 – грейзены и интенсивно грейзенизированные гранитоиды потемъюского адамелит-гранитного (V-Є) и нямгинского гранитного (R<sub>2-</sub>V) комплексов; 11 – слабогрейзенизированные гранитоиды потемъюского и нямгинского комплексов; 12 – альбититовая формация; 13-15 – лиственит-березитовая формация, связанная с саблегорским базальт-риолитовым комплексом (R<sub>3</sub>-V): 13 – березиты; 14 – слабоберезитизированные породы; 15 – ареалы возможного развития березитизации; 16 магнезиальные метасоматические изменения в гранитоидах (биотитизация, актинолитизация); 17 – ороговикование ( кварц-биотитовые, кварц-биотит-эпидотовые минеральные ассоциации), связанное с внедрением гранитоидов потемъюского комплекса; 18 – известковые скарны; 19 - скарноиды; 20 - зеленосланцевый метаморфизм (актинолит-эпидот-хлоритовая минеральная ассоциация) по гранодиоритам потемъюского комплекса; 21 – формация кварцсерицит-хлоритовых метасоматитов; 22 - пропилитовая формация, связанная с малопатокским габбро-диабазовым комплексом (R<sub>3</sub>-V); 23 – 24 – зеленосланцевый метаморфизм: 23 – измененные породы мороинского трахибазальтового (R<sub>3</sub>), раннесаблегорского вулканогеннонижнемолассоидного (R<sub>2</sub>-V) и саблегорского вулканогенного (R<sub>3</sub>-V) комплексов (актинолитэпидот-хлоритовая минеральная ассоциация); 24 – измененные породы мороинского (R<sub>3</sub>) терригенно-вулканогенного комплекса (эпидот-хлоритовая минеральная ассоциация); 25 – границы развития формаций и зон; 26 – тектонические нарушения; 27-32 – рудные объекты: березитовые колчеданно-полиметаллические; 28 – грейзеновые молибденовые; 29 – грейзеновые и березитовые редкометально-редкоземельные; 30 – редкометальные альбититовые; 31 – неясной формационной принадлежности; 32 – рудопроявления, точки минерализации.

\* Название комплексов и их возраст по В. А. Душину.

(минеральные типы), которые и определяют отличия месторождений, сформировавшихся в различные металлогенические эпохи.

Практический интерес в настоящее время представляют Южно-Шамейское месторождение и месторождение Восток.

# Кварц-молибденовая грейзеновая формация

Месторождения и рудопроявления кварц-молибденовой грейзеновой формации представлены как отдельными жилами, так и жильными полями. Подавляющая их часть расположена в пределах Восточно-Уральской мегазоны. Блоки земной коры, в которых выявлены кварц-молибденовые жилы характеризуются следующими параметрами физических полей: мощность коры -45-54 км, магнитное поле -3-1 м $^3$ , стратоизогипсы поверхности базальтового слоя -15-20 км, плотность коры -2,87-2,89 г/см $^3$ , основность коры -2,0-2,2 г/см $^3$ , поле силы тяжести -10-12 х  $10^{-2}$  мм/с $^2$ .

Типичными представителями объектов кварц-молибденовой грейзеновой формации являются месторождения и рудопроявления: Пийское, Благодатное, Исеть,

Таблица 3 Сравнительная характеристика месторождений W-Мо грейзеновой формации Урала

Параметры рифейско- раннекембрийской металогенической эпохи  Тестоно-магической эпохи  Тестоно-магической эпохи  Тестоно-магической эпохи  Тектоно-магической эпохи  Тектоно-магической активизации  Тектоно-уральская, Магитисторская, Восточно-Уральская, Зауральская метазона  Тектоническая, Зауральская метазоны  Метантиклипории  Порядка  Порядко  Порядка  Порядко  Порядк		1 -	)d.11d	
раннекембрийской металогенической эпохи  1 2 3 4  Геодинамический режим Структуры I порядка Металона метазона Метантиклинории порядка метазона  Структуры II метантиклинории порядка метазона  Структуры II метантиклинории порядка метазона  Структуры III метантиклинории порядка порядка метазона  Структуры III метантиклинории порядка порядка порядка метазона  Структуры более высоких порядков высоких порядков магнитовая достовно-транитовая дамеллиттовая поверхности базальтового слоя, км продуктивныя предистовного слоя, км продуктивная предистована поверхности базальтового слоя, км продуктуры порядков по		Месторождения	Месторождения	Месторождения
Металогенической эпохи эпохи эпохи эпохи 1 2 3 3 4 4	Параметры	рифейско-	средне-	позднепалеозойско-
Металогенической эпохи эпохи эпохи эпохи 1 2 3 3 4 4		раннекембрийской	позднепалеозойской	мезозойской
1         2         3         4           Геодинамический режим         Коллизионный         Коллизионный         Тектоно-магматической активизации           Структуры I порядка         Центрально-Уральская, мегазона         Восточно-Уральская, Тагильско-Магнитогорская, Восточно-Уральская, Зауральская мегазоны           Структуры II порядка         Мегантиклинории (мегаблоки) – 100 %         Мегантиклинории (мегаблоки) – 100 %         Мегантиклинории (мегаблоки) – 100 %         Метантиклинории (мегаблоки) – 100 %         Метантиклинории (мегаблоки) – 100 %         Антиклинории – Антиклинории – Антиклинории – Антиклинории – 16,7 %         Антиклинальные структуры, системы тектонических парушений           Региональные физические поля: Поле силы тяжести, 10 магинических парушений         Антиклинальные структуры, системы тектонических парушений         Антиклинальные структуры, системы тектонических парушений         Антиклинальные структуры, системы тектонических парушений           Региональные физические поля: Поле силы Тяжести, 10 магинически парушений         +8 - +90         +4         -144         -144         -144         -144         -144         -144         -144         -1			металлогенической	металлогенической
Геодинамический режим         Коллизионный         Коллизионный активизации         Тектоно-магматической активизации           Структуры I порядка         Центрально-Уральская мегазона         Ыситрально-Уральская, мегазона         Магнитогорская, Восточно-Уральская, Восточно-Ирас (метаблоки) – 100 %         Антиклинальные структуры, системы структуры, системы тектонических парушений         Антиклинальные структуры, системы тектонических парушений         Синклинальные структуры, системы тектонических парушений         Синклинальные структуры, системы тектонических парушений         Синклинальные структуры, системы тектонических парушений         Синклиналь		эпохи	эпохи	эпохи
режим         активизации           Структуры I         Центрально- Уральская метазона         Восточно-Уральская, метазона         Пентрально-Уральская, Магнитогорская, Восточно-Уральская, Зауральская метазоны           Структуры II порядка         Мегантиклинории (метаблоки) − 100 %         Метантиклинории (метаблоки) − 100 %         (метаблоки) − 87,5 % Метасинклинории – (метаблоки) − 12,5 %           Структуры III порядка         Антиклинории – 100 %         Антиклинории – 100 %         Антиклинории – 100 %         Антиклинории – 16,7 %           Структуры более высоких порядков         Антиклинальные структуры, системы тектонических нарушений         Антиклинальные структуры, системы тектонических нарушений         Антиклинальные структуры, системы тектонических нарушений         Стриктуры, системы тектонических нарушений         Антиклинальные структуры, системы тектонических нарушений         -1.7.44         Антиклинальные структуры, системы тектонических нарушений         -144         -144         -144         -144         -144         -144         -144         -144         -144         -144         -144         -144         -144         -144         -142         -2.01,0         -2.01,0         -2.01,0         -2.01,0         -2.01,0         -2.01,0         -2.01,0         -2.01,0         -2.02,0         -1.5,027,5         -2.01,5,027,5         -2.02,0         -1.5,027,5         -2.0.	1	2	3	4
режим Структуры I порядка         Центрально- Уральская метазона         Восточно-Уральская метазона         Центрально-Уральская, Тагильско- магнитогорская, Восточно-Уральская, Зауральская метазоны           Структуры II порядка         Мегантиклинории (метаблоки) − 100 %         Метантиклинории (метаблоки) − 100 %         Метантиклинории (метаблоки) − 87,5 % Метасинклинории (метаблоки) − 12,5 %           Структуры III порядка         Антиклинальные порядка         Антиклинальные структуры, системы тектонических нарушений         Антиклинальные структуры, системы тектонических нарушений         Антиклинальные структуры, системы тектонических нарушений           Региональные физические поля: Поле силы тяжести, 10°2 мм/с² Мощность коры, г/см³ Стратоизогипсы поверхности базальтового слоя, км         +8 - +90 2,0-2,4         +4 3,0-57,5 3,0         -144 4,0-144	Геодинамический	Коллизионный	Коллизионный	Тектоно-магматической
Структуры І порядка         Центрально- Уральская мегазона         Восточно-Уральская мегазона         Центрально-Уральская, Тагильско- Магнитогорская, Восточно-Уральская, Зауральская мегазоны           Структуры II порядка         Мегантиклинории (мегаблоки) − 100 %         Мегантиклинории (мегаблоки) − 87,5 % Мегасинклинории (мегаблоки) − 87,5 % Мегасинклинории (мегаблоки) − 87,5 % Мегасинклинории (мегаблоки) − 83,3 % Горуктуры более высоких порядков         Антиклинальные структуры, системы тектонических нарушений         Антиклинории – Антиклинории – Антиклинории (мегаблоки) – 16,7 %         Антиклинории – Антиклинории – Антиклинории (мегаблоки) – 16,7 %         Антиклинории – Антиклинории – Антиклинории (мегаблоки) – 16,7 %         Антиклинории – Антиклинории – Антиклинории (мегаблоки) – 16,7 %         Антиклинории – Антиклинории (мегаблоки) – 16,7 %         Антиклинории – 16,7 %         Антиклинории – Антиклинории (мегаблоки) – 16,7 %         Антиклинории – Антиклинории (мегаблоки) – 16,7 %         Антиклинории – 16,7 %         Антиклинории – 16,7 %         Антиклинории – Антиклинории – 16,7 %         Антиклинории – 16,7 %				активизации
порядка         Уральская мегазона         мегазона         Тагильско- Магнитогорская, Восточно-Уральская, Зауральская мегазоны           Структуры II порядка         Мегантиклинории (мегаблоки) − 100 %         Мегантиклинории (мегаблоки) − 87,5 % Мегасинклинории (мегаблоки) − 12,5 % Мегасинклинории (мегаблоки) − 12,5 % Мегасинклинории (мегаблоки) − 12,5 % Метасинклинории – 100 %           Структуры III порядка         Антиклинальные структуры, системы тектонических нарушений         Антиклинальные структуры, системы тектонических нарушений         Антиклинальные структуры, системы тектонических нарушений         Структу	<u> </u>	Центрально-	Восточно-Уральская	
Структуры II         Мегантиклинории порядка         Мегантиклинории (мегаблоки) – 100 %         Мегантиклинории (мегаблоки) – 100 %         Мегантиклинории (мегаблоки) – 100 %         Мегантиклинории (мегаблоки) – 87,5 % мегасинклинории (мегаблоки) – 12,5 %           Структуры III         Антиклинории – 100 %         Антиклинории – 100 % мегаблоки) – 12,5 %         Антиклинории – 100 %         -100 %         -100 % <td></td> <td>1</td> <td>_</td> <td></td>		1	_	
Структуры II порядка         Мегантиклинории (мегаблоки) − 100 %         Мегантиклинории (мегаблоки) − 12,5 %           Структуры III порядка         Антиклинории 100 %         Антиклинории − 10,7 %         Антиклинории − 16,7 %         Антиклинории − 16,7 %         Антиклинальные структуры, системы тектонических парушений         Антиклинальные структуры, системы тектонических парушений         Синклинории − 16,7 %         Антиклинальные структуры, системы тектонических парушений         Синклинории − 16,7 %         Антиклинальные структуры, системы тектонических парушений         Сунклинальные структуры, системы тектонических парушений         Сунклинальные структуры, системы тектонических парушений         Сунклучы, системы тектонических парушений         Сунклинальные структуры, системы тектонических парушений	T //	-		
Структуры II порядка         Мегантиклинории (метаблоки) − 100 %         Мегантиклинории (метаблоки) − 100 %         Мегантиклинории (метаблоки) − 87,5 % Мегасинклинории (метаблоки) − 12,5 %           Структуры III порядка         Антиклинории 100 %         Антиклинории − 100 %         Aнтиклинории − 100 %				-
Структуры II порядка         Мегантиклинории (мегаблоки) − 100 %         Мегантиклинории (мегаблоки) − 87,5 % Метасинклинории (мегаблоки) − 12,5 %           Структуры III порядка         Антиклинории 100 %         – Антиклинории − 100 %         Антиклинории − 100 %         Антиклинории − 2,5 %         Антиклинарына 2,5 %         41,7 %         Антиклинории − 2,5 %         41,7 %         41,7 €         41,7 €         42,7 €         42,0 €         43,0 €         45,0 €         45,0 €         45,0 € </td <td></td> <td></td> <td></td> <td>-</td>				-
порядка         (мегаблоки) − 100 %         (мегаблоки) − 100 %         (мегаблоки) − 87,5 %         Мегасинклинории (мегаблоки) − 12,5 %           Структуры III порядка         100 %         100 %         Антиклинории – 16,7 %         Антиклинальные структуры, системы тектонических нарушений         Антиклинальные структуры, системы тек	Структуры II	Мегантиклинории	Мегантиклинории	
Структуры III порядка         Антиклинории 100 %         — Антиклинории — 100 %         Антиклинории — Синклинории — 83,3 % Синклинории — 10,7 %           Структуры более высоких порядков         Антиклинальные структуры, системы тектонических нарушений         Антиклинальные структуры, системы тектонических нарушений         Антиклинальные структуры, системы тектонических нарушений         Синклинории — 83,3 % Синклинории — 16,7 %           Региональные физические поля: Поле силы тяжести, 10°2 мм/с²         Антиклинальные структуры, системы тектонических нарушений         структуры, системы тектонических нарушений           Иощность коры, км Основность коры, г/см³ Аплотность коры, г/см³ Стратоизогипсы поверхности базальтового слоя, км         57,5 - 63,0 2,0-2,4         55,0 45,0 - 57,5 2,2         45,0 - 57,5 42,2           Плотность коры, г/см³ Стратоизогипсы поверхности базальтового слоя, км         -0,12,0 2,86-2,93         -3,0 2,91         -2,0+1,0 2,85 - 2,90           Продуктивная формация         Гранит-лейкогра- нитовая, адамеллит- гранитовая         Адамеллит-гранит- лейкогранитовая         Гранитовая, гранит- лейкогранитовая         Гранитовая, гранит- лейкогранитовая         17,5 27,5           Тосохимическая сприктуры, системы тектонических нарушений         1,0 2,0 2,2         1,5 0 2,0         -2,0 - +1,0 2,85 - 2,90           Продуктивная формация         1,0 2,0 2,85 - 2,90         -3,0 2,85 - 2,90         -2,0 15,0 27,5         Транитовая           Продуктивная формация         4,0 - 57,5		_		-
Структуры III         Антиклинории         — Антиклинории         — Антиклинории         — Антиклинории         — Антиклинории         — 83,3 %         Синклинории         — 16,7 %         Антиклинории         — 18,2 Митиклинальные         Антиклинальные         Сирктурктуры, системы тектонических тектонических нарушений         Антиклинальные         Антиклинальные         Структуры, системы тектонических нарушений         Антиклинальные         Структуры, системы тектонических нарушений         Антиклинальные         Антиклинальные         Структуры, системы тектонических нарушений         Антиклинальные         Структуры, системы тектонических нарушений         Антиклинальные         Турктуры, системы тектонических тектонических нарушений				
Структуры III порядка         Антиклинории 100 %         Антиклинории – 100 %         Антиклинории – Синклинории – 16,7 %           Структуры более высоких порядков         Антиклинальные структуры, системы тектонических нарушений         Антиклинальные структуры, системы тектоничеких нарушений				
порядка         100 %         Синклинории – 16,7 %           Структуры более высоких порядков         Антиклинальные структуры, системы тектонических нарушений         Антиклинальные структуры, системы тектонических нарушений         Антиклинальные структуры, системы тектонических нарушений         Структуры, системы те	Структуры III	Антиклинории –	Антиклинории –	
Структуры более высоких порядков         Антиклинальные структуры, системы тектонических нарушений         Антиклинальные структуры, системы тектонических нарушений         Антиклинальные структуры, системы тектонических нарушений         Антиклинальные структуры, системы тектонических нарушений           Региональные физические поля: Поле силы тяжести, 10°2 мм/с²         48 - +90         +4         -144           Мощность коры, км Основность коры, г/см³ Напряженность магнитного поля, мЭ Плотность коры, г/см³ Стратоизогипсы поверхности базальтового слоя, км         -0,12,0         -3,0         -2,0-+1,0           Стратоизогипсы поверхности базальтового слоя, км         -17,520,0         -20,0         -15,027,5           Продуктивная магматическая формация         Гранит-лейкогра- нитовая, адамеллит- гранитовая         Адамеллит-гранит- лейкогранитовая         Гранитовая, гранит- лейкогранитовая         Гранитовая, гранит- лейкогранитовая         Гранитовая, гранит- лейкогранитовая         Транитовая, гранит- лейкогранитовая           Абсолютный возраст гранитов, млн. лет         500-210         375-353         278-211           Геохимическая специализация гранитов         Ад, Cr, U, Th, Mo         Mo, W, Ag, Bi, Ni         Mo, Pb, Ag, Be, Cu, Nb, W,Bi		_	_	
высоких порядков         структуры, системы тектонических нарушений         структуры, системы тектонических нарушений         структуры, системы тектонических нарушений         структуры, системы тектонических нарушений           Региональные физические поля: Поле силы тяжести, 10°2 мм/с²         +8 - +90         +4         -1 44           Мощность коры, км Основность коры, г/см³         57,5 - 63,0         55,0         45,0 - 57,5           Основность коры, г/см³         2,0-2,4         2,2         1,8-2,2           Напряженность магнитного поля, мЭ Стратоизогипсы поверхности базальтового слоя, км         -0,12,0         -3,0         -2,0-+1,0           Стратоизогипсы поверхности базальтового слоя, км         -17,520,0         -20,0         -15,027,5           Продуктивная формация         Гранит-лейкогранитовая         Адамеллит-гранит-лейкогранитовая         Гранитовая, гранит-лейкогранитовая         Гранитовая, гранитовая           Абсолютный возраст гранитов, млн. лет         500-210         375-353         278-211           Геохимическая специализация гранитов         Ад, Сг, U, Th, Mo         Мо, W, Ag, Bi, Ni         Мо, Pb, Ag, Be, Cu, Nb, W,Bi           Глубина формирова-         Гипабиссальные         Гипабиссальные         Гипабиссальные	-			
тектонических нарушений тектонических нарушений нарушен	1			
Региональные физические поля: Поле силы тяжести, 10°2 мм/с²         +8 - +90         +4         -144           Мощность коры, км Основность коры, г/см³         57,5 - 63,0         55,0         45,0 - 57,5           Напряженность магнитного поля, мЭ Плотность коры, г/см³         2,0-2,4         2,2         1,8-2,2           Напряженность магнитного поля, мЭ Стратоизогипсы поверхности базальтового слоя, км         -0,12,0         -3,0         -2,0-+1,0           Продуктивная магматическая формация         Гранит-лейкогра- нитовая, адамеллит- гранитовая         Адамеллит-гранит- лейкогранитовая         Гранитовая, гранит- лейкогранитовая         Гранитовая, гранит- лейкогранитовая           Абсолютный возраст гранитов, млн. лет         500-210         375-353         278-211           Геохимическая специализация гранитов         Ад, Cr, U, Th, Mo         Mo, W, Ag, Bi, Ni         Mo, Pb, Ag, Be, Cu, Nb, W,Bi           Глубина формирова- Глубина формирова-         Гипабиссальные         Гипабиссальные         Гипабиссальные			1 0 0 1	
Региональные физические поля: Поле силы тяжести, 10 <sup>-2</sup> мм/с <sup>2</sup>				
физические поля: Поле силы тяжести, $10^{-2}$ мм/с² Мощность коры, км Основность коры, г/см³ Напряженность магнитного поля, мЭ Плотность коры, г/см³ Стратоизогипсы поверхности базальтового слоя, км Продуктивная магматическая формация Гранит-лейкогранитовая Абсолютный возраст гранитов, млн. лет Геохимическая специализация гранитов Глубина формирова- Гипабиссальные	Региональные	<u></u>		
Поле силы тяжести, $10^{-2}$ мм/с <sup>2</sup>				
тяжести, $10^{-2}$ мм/с <sup>2</sup> Мощность коры, км Основность коры, г/см <sup>3</sup> Напряженность магнитного поля, мЭ Плотность коры, г/см <sup>3</sup> Стратоизогипсы поверхности базальтового слоя, км Продуктивная формация Пранит-лейкогранитовая Пранитовая Пранитов	1 *			
Мощность коры, км Основность коры, г/см³ Напряженность магнитного поля, мЭ Плотность коры, г/см³ Стратоизогипсы поверхности базальтового слоя, км         -0,12,0 2,86-2,93         -3,0 2,91         -2,0-+1,0 2,85 - 2,90           Продуктивная магматическая формация         Гранит-лейкогра- нитовая, адамеллит- гранитовая         Адамеллит-гранит- лейкогранитовая         Гранитовая, гранит- лейкогранитовая         Гранитовая, гранит- лейкогранитовая           Абсолютный возраст гранитов, млн. лет         500-210         375-353         278-211           Геохимическая специализация гранитов         Ag, Cr, U, Th, Mo         Mo, W, Ag, Bi, Ni         Mo, Pb, Ag, Be, Cu, Nb, W,Bi           Глубина формирова-         Гипабиссальные         Гипабиссальные         Гипабиссальные	тяжести $10^{-2}$ мм/ $c^2$	+8 - +90	+4	-144
Основность коры, г/см³         2,0-2,4         2,2         1,8-2,2           Напряженность магнитного поля, мЭ плотность коры, г/см³         -0,12,0         -3,0         -2,0-+1,0           Плотность коры, г/см³         2,86-2,93         2,91         2,85 - 2,90           Стратоизогипсы поверхности базальтового слоя, км         -17,520,0         -20,0         -15,027,5           Продуктивная магматическая формация         Гранит-лейкогранить лейкогранитовая граниты лейкогранитовая         Гранитовая, адамеллиты лейкогранитовая         Гранитовая           Абсолютный возраст гранитов, млн. лет         500-210         375-353         278-211           Геохимическая специализация гранитов         Ад, Сг, U, Th, Мо         Мо, W, Ag, Bi, Ni         Мо, Pb, Ag, Be, Cu, Nb, W,Bi           Глубина формирова- Гипабиссальные         Гипабиссальные         Гипабиссальные				
Напряженность магнитного поля, мЭ Плотность коры, г/см³ 2,86-2,93 2,91 2,85 - 2,90 Стратоизогипсы поверхности базальтового слоя, км -17,520,0 -20,0 -15,027,5 Продуктивная Гранит-лейкогранитовая Гранит-лейкогранитовая гранитовая Грани				
магнитного поля, мЭ Плотность коры, г/см³ Стратоизогипсы поверхности базальтового слоя, км  — 17,520,0  — 20,0  — 15,027,5  Продуктивная нитовая, адамеллит- магматическая нитовая, адамеллит- ранитовая  Абсолютный возраст гранитов, млн. лет  — Реохимическая нитовая Ад, Cr, U, Th, Mo  — 17,5 - 20,0  — 20,0  — 15,027,5  — Гранитовая, гранит- лейкогранитовая  — 17,5 - 3,0  — 2,0-+1,0  — 2,85 - 2,90  — 15,027,5  — Гранитовая, гранит- лейкогранитовая  — 17,520,0  — 3,0  — 2,0-+1,0  — 2,85 - 2,90  — 15,027,5  — Гранитовая, гранит- лейкогранитовая  — 17,520,0  — 3,0  — 2,0-+1,0  — 2,0-+1,0  — 2,0-+1,0  — 2,0-+1,0  — 2,0-+1,0  — 2,85 - 2,90  — 15,027,5  — Гранитовая, гранит- лейкогранитовая  — 17,520,0  — 375-353  — 278-211  — Геохимическая — 4g, Cr, U, Th, Mo — Mo, W, Ag, Bi, Ni — Mo, Pb, Ag, Be, Cu, Nb, W,Bi  — Nb, W,Bi  — Гипабиссальные  — Гипабиссальные — Гипабиссальные — Гипабиссальные — Гипабиссальные — Гипабиссальные — Гипабиссальные — 1,0 — 2,0-+1,0 —		_,	_,_	1,0 _,_
Плотность коры, г/см <sup>3</sup>		-0.12.0	-3.0	-2.0-+1.0
Стратоизогипсы поверхности базальтового слоя, км -17,520,0 -20,0 -15,027,5 Продуктивная Гранит-лейкогранитовая, адамеллит-пейкогранитовая формация гранитовая Гранитовая Транитовая Абсолютный возраст гранитов, млн. лет    Геохимическая специализация гранитова    Адамеллит-гранит    Адамеллит-гранит    лейкогранитовая    375-353	Плотность коры г/см <sup>3</sup>	1		, , ,
поверхности базальтового слоя, км         -17,520,0         -20,0         -15,027,5           Продуктивная магматическая формация         Гранит-лейкогранить лейкогранитовая         Гранитовая, граниты лейкогранитовая         Гранитовая, граниты лейкогранитовая           Абсолютный возраст гранитов, млн. лет         500-210         375-353         278-211           Геохимическая специализация гранитов         Ад, Сг, U, Th, Мо мо, W, Ад, Ві, Nі мо, Рь, Ад, Ве, Си, Nь, W,Ві         Мо, Рь, Ад, Ве, Си, Nь, W,Ві           Глубина формирова- Гипабиссальные         Гипабиссальные         Гипабиссальные		_,55 _,55	_,,,	_,55 _,55
тового слоя, км         -17,520,0         -20,0         -15,027,5           Продуктивная магматическая формация         Гранит-лейкогранитовая нитовая, адамеллит-лейкогранитовая         Гранитовая, пейкогранитовая лейкогранитовая           Абсолютный возраст гранитов, млн. лет         500-210         375-353         278-211           Геохимическая специализация гранитов         Ag, Cr, U, Th, Mo         Mo, W, Ag, Bi, Ni         Mo, Pb, Ag, Be, Cu, Nb, W,Bi           Глубина формирова- Гипабиссальные         Гипабиссальные         Гипабиссальные	-			
Продуктивная Гранит-лейкогра- Адамеллит-гранит- Пранитовая, гранитовая формация Гранитовая Гранитовая Гранитовая Гранитовая Абсолютный возраст гранитов, млн. лет Геохимическая Ад, Сг, U, Th, Mo Мо, W, Ag, Bi, Ni Мо, Pb, Ag, Be, Cu, Специализация гранитов Глубина формирова- Гипабиссальные Гипабиссальные Гипабиссальные	-		-20.0	-15.027.5
магматическая формация гранитовая, адамеллит-гранитовая лейкогранитовая лейкогранитовая лейкогранитовая Абсолютный возраст гранитов, млн. лет 500-210 375-353 278-211  Геохимическая Ад, Сг, U, Th, Mo Mo, W, Ag, Bi, Ni Mo, Pb, Ag, Be, Cu, Nb, W,Bi Гранитов Гипабиссальные Гипабиссальные Гипабиссальные	· ·		,	
формация гранитовая Абсолютный возраст 500-210 375-353 278-211 гранитов, млн. лет Геохимическая Аg, Cr, U, Th, Mo Mo, W, Ag, Bi, Ni Mo, Pb, Ag, Be, Cu, пранитов Глубина формирова- Гипабиссальные Гипабиссальные Гипабиссальные	1 1		_	
Абсолютный возраст гранитов, млн. лет 500-210 375-353 278-211  Геохимическая Ад, Сг, U, Th, Mo Мо, W, Aд, Bi, Ni Мо, Pb, Aд, Be, Cu, Nb, W,Bi  Гранитов Глубина формирова- Гипабиссальные Гипабиссальные Гипабиссальные		*	Paris Paris Dani	F F
гранитов, млн. лет  Геохимическая специализация гранитов  Глубина формирова-		1	375-353	278-211
Геохимическая Ag, Cr, U, Th, Mo Mo, W, Ag, Bi, Ni Mo, Pb, Ag, Be, Cu, Nb, W,Bi гранитов Гипабиссальные Гипабиссальные Гипабиссальные	-	300 210	313 333	270 211
специализация rpaнитов	<u> </u>	A G II T 3.5	1	N. D. A. D. G
гранитов Гипабиссальные Гипабиссальные Гипабиссальные Гипабиссальные		Ag, Cr, U, Th, Mo	Mo, W, Ag, Bi, Ni	_
Глубина формирова- Гипабиссальные Гипабиссальные Гипабиссальные				Nb, W,B1
	-			
ния гранитов		1 ипабиссальные	1 ипабиссальные	Гипабиссальные
	ния гранитов			

Продолжение табл. 3

1	2	3	11родолжение таол. 3
Положение орудене-	Зоны экзоконтак-	Зоны эндоконтак-	Зоны экзо и
ния относительно	тов гранитов, реже	тов гранитов	эндоконтактов
интрузивных пород	эндоконтактовые		гранитов
	зоны		- F masses
Морфологический	Жильный,	Вкрапленный,	Вкрапленный, прожил-
тип рудных тел	вкрапленный,	прожилковый,	ковый, прожилково-
1377	прожилковый	прожилково-	вкрапленный, жиль-
	r	вкрапленный,	ный, штокверковый
		штокверковый	, 1
Рудная фация	Шеелит-	Шеелит-	Шеелит-
(минеральный тип)	молибденитовая,	молибденитовая,	молибденитовая,
	молибденитовая,	касситерит-шеелит-	вольфрамит-
	халькопирит-	молибденитовая	молибденитовая,
	молибденитовая		молибденитовая
Минеральный	Молибденит,	Молибденит, шее-	Молибденит, шеелит,
состав руд	пирротин,	лит,	пирит, халькопирит,
	халькопирит,	базовисмутит,	вольфрамит, сфалерит,
	шеелит, пирит,	галенит, касситерит	висмутин, магнетит,
	висмутин,		гематит, галенит, пент-
	сфалерит, галенит		ландит, пирротин,
			блеклые руды, урани-
			нит, урановая смолка
Геохимический	Mo, Bi, W, Ag, Pb,	Mo, Pb, Cu, W, Ag,	Mo, Ag, Cu, Nb, W, Be,
спектр руд	Sn, Be, Cu	Bi, Sn	Sn
Содержание рения	165-758	Н.д.	2,2 - 220
в молибденитах, г/т			
Содержание селена	59 - 160	Н.д.	12,6-15,9
в молибденитах, г/т			
Содержание теллура в	5-33	Н.д	<5
молибденитах, г/т			
Отношение меди к	0,01 - 10,2	0,п	0,05 - 2,0
молибдену в рудах			
Отношение W к Мо в	0,04-0,2	1,0-38,0	0,01-1,4
рудах			
Отношение серебра к	10,0-13,0	Н. д.	10,0-46,0
золоту в рудах			
Положение орудене-	Пропилиты - кон-	Контактовый мета-	Региональный метамор-
ния в обобщенной по-	-		-
лиформационной ме-	физм – грейзены –	соматоз - дислока-	сланцев - сиалический
тасоматической зо-	1 -	· •	плутонометаморфизм -
нальности	ционный метамор-	физм – грейзены -	
	физм	березиты	морфизм – контактовый
			метаморфизм - автоме-
			тасоматоз - биметасома-
			тоз – грейзены – берези-
			ты-листвениты - аргил-
			лизиты

#### Окончание табл. 3

1	2	3	4
Околорудная метасо-	Грейзеновая	Грейзеновая	Грейзеновая
матическая формация	-	-	_
Метасоматическая	Кварц-	Кварц-	Кварц-полевошпатовая,
фация грейзеновой	полевошпатовая,	полевошпатовая,	кварц-мусковитовая,
формации	кварц-	кварц-мусковитовая,	кварц-флюорит-
	мусковитовая,	кварц-флюорит-	мусковитовая, муско-
	кварц-турмалин-	мусковитовая	вит-кварцевая, кварц-
	мусковитовая		флогопитовая
Миграция вещества			
при метасоматозе:			_
+ привнос	Si, K, F, S, Al, H	Al, K, Fe <sup>+3</sup> , F, Ca	Al, K, Ca, $Fe^{+3}$ , Mg, F
- вынос	Fe <sup>+3</sup> , Fe <sup>+2</sup> , Na, Ti,	Si, Na, Fe <sup>+2</sup>	Si, Na, Fe <sup>+2</sup> , Mg, Ca
	Mg, Mn, Ca		
Геохимическая спе-	Mo, Bi, W,Sn	Mo, Pb, W, Ag, Bi,	Mo, Ag, Cu, Nb, W, Be,
циализация метасома-		Sn	Sn
титов			
Примеры	Харбейское, Лон-	Ащисайское и др.	Южно-Шамейское,
месторождений	готъюганское, Хо-		Коклановское, Восток и
	лодное и др.		др.

Палкино, Белоярское, Хвощевская жила, жилы района Баженовского месторождения и многие другие.

Рудные жилы развиты как в гранитах, так и во вмещающих породах. Количество жил варьирует от одной до нескольких десятков, при протяженности от первых метров до нескольких сот метров. Мощность жил также варьирует в широких пределах (n0 см -2-3 м).

Рудная минерализация в основном представлена шеелитом, молибденитом, висмутином, магнетитом, пиритом, халькопиритом, при содержаниях молибдена от 0.10 % до 0.50 %.

Главными нерудными минералами являются кварц, полевой шпат, мусковит, реже турмалин, биотит.

Практического значения, в настоящее время, объекты кварц-молибденовой грейзеновой формации в связи с малыми ресурсами и существующими ценами на молибденовую продукцию не имеют.

# Молибденоворудные и молибденсодержащие формации порфирового семейства

Месторождения медно-порфирового типа занимают своеобразное положение в эндогенной металлогении. Руды этих месторождений, как правило, характеризуются невысокими содержаниями полезных компонентов, но в то же время на долю медно-порфировых месторождений приходится значительная часть мировых запасов и добычи меди и молибдена. Наряду с основными полезными компонентами руды этих месторождений содержат такие ценные

примеси, как Au, Ag, Re, Se, Tl, Ві и др.

В настоящее время существует четыре модели формирования месторождений порфирового семейства, причем каждой модели соответствуют свои геохимическая и металлогеническая специализация, тип околорудно-измененных пород, связь с определенными магматическими формациями, геодинамические условия образования, свои рудно-метасоматические формации.

Исходя из вышеизложенного, порфировые месторождения рассматриваются автором в качестве промышленного типа прожилково-вкрапленного медного, молибденово-медного, медно-молибденового, молибденового, золото-содержащего оруденения.

Различным аспектам геологии порфировых месторождений Урала посвящены работы Агеевой Т. С., Азовсковой О. Б., Белгородского Е. А., Воробьева В. И., Грабежева А. И., Григорьевой Г. Г., Грязнова О. Н., Исмагилова М. И., Компанец С. Н., Контаря Е. С., Кузнецова В. И., Магадеева Б. Д., Сазонова В. Н., Салихова Д. Н., Чащухиной В. А., Павловой И. Г., Перминова И. Г., Ромашовой Л. Н., Силаева В. И., Тимергазиной А. К., Федоровой И. Б. и др.

Уральские месторождения порфирового семейства формировались в рифейско-раннекембрийскую, среднепалеозойскую и позднепалеозойскую металлогенические эпохи в условиях субдукционного и коллизионного геодинамических режимов. К субдукционным месторождениям принадлежат объекты, сформированные по диоритовой и гранодиоритовой моделям, к коллизионным - объекты, сформированные по монцонитовой и гранитовой моделям. Каждой модели соответствуют свои рудно-метасоматические формации. Характерной молибденово-медной особенностью уральских месторождений серицитовой формации является развитие в ореолах околорудно-измененных пород слюд натриевого и кали-натриевого типа (Грабежев и др., 1998). В общем виде уральские месторождения порфирового семейства представляют ряд месторождений от собственно медных, до собственно молибденовых месторождений.

Типизация уральских месторождений порфирового семейства приведена в таблице 4.

Общим для всех месторождений порфирового семейства Урала являются:

- приуроченность к малым порфировым интрузиям гипабиссальной или субвулканической фации глубинности;
  - комагматичность интрузивных образований вмещающим вулканитам;
- субизометричная, линейная или овально-удлиненная форма рудоносных штокверков, коррелируемая с морфологией рудоносных порфировых тел и тектонических зон;
  - вкрапленный, прожилково-вкрапленный тип оруденения;
  - простой минеральный состав руд (пирит, халькопирит, молибденит);
  - низкая концентрация основных рудных элементов в первичных рудах.

Таблица 4 Типы уральских молибденовых и молибденсодержащих месторождений порфирового семейства (с использованием работ: Агеева, 1982, Грабежев и др., 1992, Грязнов, 1989, 1992, Золоев и др., 2004, 1992, Контарь, 2001, Костеров и др., 1976, 1975, Кривцов, 1983, Кривцов и др., 1986, Тимиргазина, 1975, Федорова и др., 1971

		и др.)		
Признаки		Типы местор	ождений	
	Медно-порфировый,	Молибден-медно-порфировый	Медно-молибден-	Молибден-порфировый
	золото-медно-		порфировый	
	порфировый			
1	2	3	4	5
Генетическая	«Диоритовая»	«Гранодиоритовая»	«Монцонитовая»	«Гранитовая»
модель	по В. Холлистеру	По А. И. Кривцову	по Дж. Ловеллу и	по К. Кларку и
			Дж. Джелберту	А. И. Кривцову
Геодинамический	Островодужный (эвгео-	Островодужный (позднеэвгеосин-	Переходный	Ранняя коллизия
режим	синклинальный)	клинальный), переходный, ранняя	Ранняя коллизия	
		коллизия (раннеорогенный)		
Мощность коры, км	50-60	40-45; 50-55	45-50; 60	50-55
Основность коры,	2,1-2,4	1,9-2,1; 2,4	2,1-2,2	2,2-2,4
$\Gamma/\text{cm}^3$				
Структуры I поряд-	Тагильско-	Центрально-Уральская, Восточно-	Восточно-Уральская,	Тагильско-
ка	Магнитогорская	Уральская, Зауральская, Тюмен-	Тагильско-	Магнитогорская мега-
	мегазона	ско-Кустанайская мегазоны, Вос-	Магнитогорская	зона
		точно-Уральский прогиб (мегазо-	мегазоны	
		на),		
Структуры более	Тектонические зоны	Антиклинали, синклинали, круп-	Пересечение текто-	Пересечение крупных
высоких порядков		ные тектонические зоны (зоны	нических зон	тектонических зон
		дробления, трещиноватости,		
		брекчирования)		
Металлогеническая		Позднепалеозойская	Позднепалеозойская	Позднепалеозойская
эпоха	Среднепалеозойская	Среднепалеозойская		
		Рифейско-раннекембрийская		

# Окончание табл. 4

1	2	3	4	5
Магматическая	Габбро-диоритовая	Габбро-диорит-гранодиоритовая,	Монцодиорит-	Диорит-гранодиорит-
формация		диорит-гранодиоритовая	гранитовая	гранитная
Геологический	$D_2$	$R_3$ ; $S_2$ - $D_1$ ; $D$ ; $C$	C <sub>2-3</sub>	C <sub>2-3</sub>
возраст				
Рудоносные	Диориты, кварцевые	Гранодиориты, плагиограниты,	Гранодиорит-	Порфировидные биоти-
порфировые фазы	диориты, порфиритовы	гранодиорит-порфиры, порфири-	порфиры, граносие-	товые граниты, аплиты
	габбро-диориты, пла-	товые диориты, плагиогранодио-	нит-порфиры, гра-	
	гиограниты	рит-порфиры, адамелит-порфиры	нит-порфиры	
Рудно-	Медная пропилитовая	1. Молибденово-медная пропили-	Медно-молибденовая	Медно-молибденовая
метасоматическая		товая.	кварц-	кварц-полевошпатовая
формация		2. Молибденово-медная кварц-	полевошпатовая	
		серицитовая		
Морфологический	Вкрапленный, прожил-	Вкрапленный, прожилковый,	Вкрапленный, про-	Гнездовый, вкраплен-
тип оруденения	ково-вкрапленный	прожилково-вкрапленный	жилковый, прожил-	ный, штокверковый
			ково-вкрапленный	
Основные рудооб-	Халькопирит, пирит,	Пирит, халькопирит, молибденит,	Пирит, молибденит,	Пирит, молибденит,
разующие (второ-	(молибденит, пирротин,	магнетит, (галенит, сфалерит,	халькопирит, (магне-	халькопирит, магнетит
степенные) минера-	галенит, сфалерит, маг-	блеклые руды, магнетит, борнит,	тит, галенит, сфале-	
ЛЫ	нетит)	гематит, пирротин, гематит)	рит, блеклые руды,	
			пирротин)	
Отношение Си/Мо в	250-600	70-350	2-15	3-6
рудах				
Содержание Re в	Н.д.	760	40-280	7-127
молибденитах, г/т		до 2500-3025		
Примеры	Салаватское, Вознесен-	1. Спиридоновское	Талицкое, Верхне-	Янослорское, Каменское
месторождений	ское, Андрюшинское и	2. Лекын-Тальбейское, Михеев-	уральское	
	др.	ское, Биргильдинское, Еленов-		
		ское, Баталинское, Бенкалинское		
		и др.		

#### Медно-молибденовая кварц-полевошпатовая формация

Среди представителей медно-молибденовой кварц-полевошпатовой формации на Урале выделяется две группы месторождений. К первой группе относятся месторождения, сформировавшиеся по монцонитовой модели (Талицкое, Верхнеуральское и др.), ко второй — по гранитовой модели (Янослорское и др.).

Талицкое месторождение по данным Золоева К. К., Букрина Г. А., Азовской О. Б., Грабежева А. И. расположено в Первомайском антиклинории, в переходной зоне между Тагильским мегаблоком и Восточно- Уральской мегазоной. Молибденовое оруденение пространственно и генетически связано с дайками граносиенит-порфиров, петрохимически близким граносиенитам и кварцевым монцодиоритам.

Рудная минерализация представлена редкой вкрапленностью молибденита в зонах калишпатизации и калишпат-кварцевых, кварцевых прожилках, иногда с флюоритом, халькопиритом и пиритом. Фиксируются также пленки молибденита по трещинам. Кроме того, прожилково-вкрапленная минерализация пирита, молибденита и халькопирита фиксируется в телах кварц-альбитовых метасоматитов. Повышенными содержаниями меди и молибдена характеризуются серицит-кварцевые метасоматиты. В периферических частях тел метасоматитов наблюдается полиметаллическая минерализация с теллуридами (тетрадимит, гессит, алтаит и другие) и золотом.

Рудные тела выделяются по результатам опробования. Оруденение крайне неравномерное, контрастное и зависит от характера и интенсивности метасоматических изменений и плотности кварцевых прожилков. Молибденовая минерализация тяготеет к внутренним зонам метасоматитов, а медная в значительной части расположена во внешней зоне. Содержания Мо в рудных интервалах меняются от 0,04 % до 0,339 %, Си - от 0,09 % до 0,47 %. Наиболее часто встречающиеся содержания Мо - 0,04-0,07 %, Си - 0,10-0,13 %.

На месторождении выделяются три рудные штокверковые зоны (Золоев, Видусов и др., 1993): штокверк 1 имеет максимальную ширину выхода на дневную поверхность около 80 м и протягивается на 400 м; штокверк 2 - длиной до 500 м и шириной около 100 м; штокверк 3 носит линейный характер, аналогичный штокверку 2 и имеет размеры 300 м х 80 м. Насыщенность штокверков рудной минерализацией различная.

По результатам геологических исследований на Полярном Урале обнаружено большое количество проявлений медно-молибденовой минерализации, среди которых наиболее интересным в промышленном отношении является Янослорское рудопроявление.

В геологическом строении рудопроявления, по Перминову И. Г. и др., участвуют гранитоиды янослорского комплекса, прорывающие кварцевые диориты, которые в свою очередь ассимилируют породы основного состава.

Оруденение приурочено к контактовым частям гранитов и кварцевых диоритов. В зависимости от положения в разрезе структуры выделяются три типа медно-молибденовой минерализации: 1) в аляскитовых гранитах - халько-пирит-молибденовые гнезда и примазки по трещинам и плоскостям отдельно-

сти; 2) в мелкозернистых биотитовых гранитах — равномерная мелкая порфировая вкрапленность; 3) в измененных диоритах, гранодиоритах - калишпат-кварц-сульфидный штокверк с жилами и гнездами халькопирита и молибденита.

Гидротермальные изменения пород выражены в развитии порфиробластической калишпатизации и окварцевания вокруг тел аляскитовых гранитов. Внутренние части метасоматической колонки представлены мусковит-калишпатовыми породами с карбонат-сульфидно-кварцевыми прожилками.

Прогнозные ресурсы оценены на уровне среднего - крупного объекта.

Практическое значение среди объектов медно-молибденовой кварцполевошпатовой формации в связи с выявленными ресурсами и существующими ценами на молибденовую продукцию в настоящее время может представлять Талицкое месторождение.

#### Молибденово-медная кварц-серицитовая формация

Большинство объектов, принадлежащих к молибденово-медной кварцсерицитовой формации, расположено в Тагильско-Магнитогорской мегазоне — 32,1 %, в Восточно-Уральской и Центрально-Уральской мегазонах — по 17,9 %, в Зауральской мегазоне — 14,3 %, в Восточно-Уральском прогибе — 10,7 % и Тюменско-Кустанайском мегазоне — 7,1 %. Из них 44,4 % объектов приурочено к антиклинорным структурам, 42,9 % - к синклинорным структурам и 10,7 % - к моноклинорным структурам третьего порядка (табл. 5).

В истории развития Урала устанавливаются рифейско-раннекембрийская, среднепалеозойская и позднепалеозойская металлогенические эпохи формирования объектов молибденово-медной кварц-серицитовой формации.

Корреляционный анализ позволил установить, что в блоках, в которых расположены молибденово-медные объекты, устанавливаются следующие типы связей. Поле силы тяжести имеет прямую положительную связь с мощностью коры, основностью коры, глубиной залегания базальтового слоя и обратную связь с плотностью коры. В свою очередь, плотность коры связана с основностью коры и глубиной залегания базальтового слоя. Кроме того, основность коры коррелируется с глубиной залегания базальтового слоя. Масштаб молибденово-медного оруденения имеет значимую отрицательную связь с плотностью и основностью коры и глубиной залегания базальтового слоя. Факторный анализ позволил выделить факторы, определяющие расположение региональных физических полей в Уральском складчатом поясе и месторождений молибденово-медной кварц-серицитовой формации в физических полях Урала и определить вклад каждого параметра в эти факторы.

Все месторождения контролируются зонами тектонических нарушений. Минерализация развита в гипабиссальных гранитоидных массивах и во вмещающих вулканитах. Сопряженные с рудами метасоматиты принадлежат к кварц-серицитовой формации и занимают вполне определенное положение в региональной полиформационной зональности. Основными рудными минералами являются пирит и халькопирит и, в меньшей степени, молибденит.

Таблица 5 Сравнительная характеристика месторождений молибденово-медной кварцсерицитовой формации Урала

	1 1	ормации урала	
	Месторождения	Месторождения	Месторождения
Параметры	рифейско-	среднепалеозойской	позднепалеозойской
	раннекембрийской	металлогенической	металлогенической
	металогенической	эпохи	эпохи
	эпохи		
1	2	3	4
Геодинамический	Островодужный	Островодужный (позд-	Переходный, ранняя
режим	(эвгеосинклиналь-	неэвгеосинклиналь-	коллизия (раннеоро-
	ный)	ный)	генный)
Структуры I	Центрально-	Тагильско-Магнито-	Зауральская, Тюмен-
порядка	Уральская	горская, Восточно-	ско-Кустанайская ме-
	мегазона	Уральская мегазона,	
		Восточно-Уральский	
		прогиб	
Структуры II	Мегантиклинории	Мегантиклинории	Мегантиклинории
порядка	(мегаблоки) – 100 %	(мегаблоки) – 37 %	(мегаблоки) – 34 %
T // "	, , , , , , , , , , , , , , , , , , , ,	Мегасинклинории	Мегасинклинории
		(мегаблоки) – 63 %	(мегаблоки) – 66 %
Структуры III	Антиклинории –	Антиклинории – 43 %	Антиклинории – 34 %
порядка	100 %	Синклинории – 38 %	Синклинории - 66 %
порядки	100 /0	Моноклинории -19 %	
Структуры более	Антиклинали,	Антиклинали, синкли-	Антиклинали грабен-
высоких порядков		нали, крупные текто-	
высоких порядков		нические зоны (зоны	
	`	дробления, трещинова-	(зоны дробления,
		тости, брекчирования)	трещиноватости,
	рования)	тости, орек пірования)	брекчирования)
Региональные	рования		орек інрования)
физические поля:			
Поле силы тяжести,			
$10^{-2} \text{ MM/c}^2$	-516	-11 - +41	-1842
Мощность коры, км	45- 50	50 – 57	45 - 49
Основность коры, г/см <sup>3</sup>	2.0 - 2.1	2,0-2,45	1,8 – 1,95
Напряженность	2,0 - 2,1	2,0 - 2,43	1,0 - 1,75
магнитного поля, мЭ	-13	-2 - +5	-0,1 - +2
Плотность коры, $\Gamma/\text{см}^3$	2,88 - 2,90	2,85-2,92	2,86-2,89
Стратоизогипсы	2,00 2,70	2,03 2,72	2,00 2,0)
поверхности			
базальтового слоя, км	-20	-1022,5	-22,525
Продуктивная	Габбро-диорит-	Габбро-плагиогранит-	
магматическая	гранодиоритовая,	ная, базальт-андезит-	гранодиоритовая
формация	базальт-андезит-	дацит-риолитовая	триподпоритовал
Ψοριαμείλ	дацитовая	дацит-риолитовая	
Геологический	дацитовая R <sub>3</sub>	S <sub>2</sub> - D	C <sub>1-3</sub>
	<b>IX</b> 3	S <sub>2</sub> - D	C <sub>1-3</sub>
возраст гранитоидов Абсолютный возраст	370 (возраст мета-	310-410	284-316
-	` -	310-410	20 <del>4-</del> 310
гранитоидов, млн. лет	морфизма?)		

Продолжение табл. 5

	T		родолжение таол. 5
1	2	3	4
Глубина формирования	Гипабиссальные	Гипабиссальные, гипо-	Гипабиссальные,
гранитоидов		вулканические	гиповулканические
Рудовмещающие	Порфировые анде-	Кварцевые диориты,	Кварцевые порфири-
породы	зидациты, диориты,	диориты, порфирито-	товые диориты, пла-
	кварцевые порфи-	вые андезибазальты,	гиогранит-порфиры,
	ровые риолиты	пироксен-амфиболо-	гранодиорит-
		вые порфиритовые ан-	
		дезиты, амфиболовые	
		порфиритовые габбро-	
		диориты, плагиограно-	111
		диорит-порфиры	
Морфологический	Вкрапленный,		Вкрапленный, про-
тип рудных тел	прожилково-	жилковый, прожилко-	
	вкрапленный	во-вкрапленный	ково-вкрапленный
Рудная фация	_	Пиритовая, пирит-	1
(минеральный тип)	деново-медная,	халькопиритовая,	халькопиритовая,
	медно-	халькопирит-	халькопирит-
		молибденитовая, поли-	
	Полисульфидиал	сульфидная	лисульфидная
Минеральный	Пирит, халькопи-	Пирит, халькопирит,	, , , , , , , , , , , , , , , , , , ,
состав руд: основные,			
(второстепенные)	_	тит, пирротин, борнит,	I
(второстепенные)		блеклые руды, галенит,	1
		сфалерит, гематит, ко-	1
	1	бальтин, марказит)	лерит, кубанит)
Геохимический	Mo, Cu, Ag, Sn, Ba		Cu, Mo, Ag, Au, Ti,
	Mo, Cu, Ag, Sii, Da	Cu, Mo, Co, Au, Zh	Sn, Zr
спектр руд Среднее содержание	0,46 - 0,54	0,4 - 2,88	0,36-0,64
Среднее содержание меди в рудах, %	0,40 - 0,34	0,4 - 2,88	0,30-0,04
	0,008 - 0,0089	0,002- 0,24	0,002-0,005
Среднее содержание	0,008 - 0,0089	0,002-0,24	0,002-0,003
молибдена в рудах, %	П 7(0	11	П 2500 2025
Содержание рения	До 760	Н.д.	До 2500-3025
в молибденитах, г/т	60.00	145.050	70.000
Отношение меди к	60-90	145-250	70-200
молибдену в рудах	D "	D 0	200-500
Положение оруденения			Региональный мета-
	таморфизм зеленос-		морфизм зеленослан-
формационной метасо-	<u> </u>	<u> </u>	<u> </u>
		тактовый метаморфизм	<u> </u>
сти	ритовые метасома-	-	физм — пропилиты
	1	кварц-серицитовые ме-	1
		тасоматиты $\rightarrow$ дисло-	
	титы → дислокаци-	_	аргиллизиты $\rightarrow$ дис-
	онный метамор-	физм	локационный мета-
	физм		морфизм
Околорудная метасома-	Кварц-серицитовая	Кварц-серицитовая	Кварц-серицитовая
тическая формация			

1	2	3	4
Метасоматическая	Кварц-серицитовая,	Калишпатовая, кварц-	Кварц-
фация кварц-серици-	турмалин-кварц-	серицитовая, кварц-	полевошпатовая,
товой формации	серицитовая	, , ,	кварц-серицитовая,
		серицит-карбонатная	кварц-турмалиновая,
			карбонат-
			серицитовая
Миграция вещества			
при метасоматозе:	. 2		.2
+ привнос	+ Ti, Fe <sup>+3</sup> , Mg, K, S,	+ K, S, CO <sub>2</sub>	+ K, S, CO <sub>2</sub> , Fe <sup>+3</sup>
	H, Si	± Na, Al, Si	
- вынос	- Si, Al, Fe <sup>+2</sup> , Na,	- Ca, Fe	- Mg, Fe <sup>+2</sup> , Ca
	Mn, P, Ca	± Na, Al, Si	± Na, Al, Si
Геохимическая спе-	Mo, Cu, Ag, Ba, Sn,	Cu, Mo, Co, Au, Zn	Cu, Mo, Co, Ni, Ag,
циализация метасома-	Y, Yb		Au, Sn, Bi, Pb, Zn, Se,
ТИТОВ			Te, B
Примеры месторож-	Лекын-Тальбейс-	Биргильдинское, Еле-	Михеевское, Бата-
дений	кое, Солнечное и	новское, Зеленодоль-	линское, Бенкалин-
	др.	ское и др.	ское и др.

Руды характеризуются близкими геохимическими спектрами. В зависимости от физико-химических условий образования, уровня эрозионного среза, состава исходных пород, подвергшихся метасоматическому преобразованию, выделяются различные метасоматические и рудные фации (минеральные типы), которые и определяют отличия месторождений различных металлогенических эпох.

Среди объектов молибденово-медной кварц-серицитовой формации практический интерес могут представлять Михеевское, Лекын-Тальбейское и Бенкалинское месторождения.

### Молибденово-медная пропилитовая формация

Месторождения молибденово-медной пропилитовой формации на Урале развиты ограниченно. Наиболее крупные объекты выявлены в пределах Денисовской структурно-фациальной зоны.

Проявления медной минерализации выявлены на площади более 500 км<sup>2</sup>. Наибольший интерес представляет Спиридововская меденосная площадь.

Спиридоновская меденосная площадь по (Костеров и др., 1975, 1976) представляет собой тектонический блок площадью более 20 км<sup>2</sup>. Блок сложен базальт-андезит-дацит-риолитовыми эффузивами силура, с широким развитием пирокластического материала. Породы в значительной степени преобразованы процессами зеленокаменного метаморфизма, а также локально изменены процессами контактового метаморфизма и околорудным гидротермальным метасоматозом.

Вулканогенные образования прорваны многофазной Спиридоновской габбро-гранодиоритовой интрузией, вытянутой в субмеридиональном направле-

нии. Ореолы гидротермального изменения пород (кварц-эпидот-хлоритовая фация) приурочены к участкам развития трещиноватости и развиваются параллельно контактам гранодиоритов и вмещающих вулканогенных пород.

Состав рудных минералов: магнетит, ильменит, лейкоксен, пирит, халькопирит, молибденит, сфалерит, галенит, вторичные минералы меди и железа.

Оруденение претерпело интенсивный метаморфизм, проявившийся в замещении рудных минералов нерудными, в замещении рудных минералов ранних стадий минералами более поздних, прожилково-вкрапленного типа связано с околотрещинным метасоматозом пропилитовой формации (кварц-хлорит-эпидотовая фация).

Парагенетические ассоциации минералов в гранитоидах и вулканитах аналогичны, отличие заключается в количественном преобладании молибденита в гранодиоритах, а сфалерита и галенита в вулканогенных образованиях.

Для сульфидной минерализации Спиридоновской меденосной площади устанавливается идентичность изотопного состава серы сульфидов.

Объекты данного формационного типа практического значения в отношении молибдена не имеют.

#### Медная пропилитовая формация

Месторождения медной пропилитовой формации развиты в пределах Тагильско-Магнитогорской мегазоны. Наиболее крупными представителями данной формации являются Салаватское и Вознесенское месторождения.

Салаватское месторождение расположено в западном борту Магнитогорского мегаблока в породах андезит-базальтовой формации, прорванных интрузивом габбро-диоритовой формации. Поздние рудоносные интрузивные комагматы представлены дайкообразными интрузиями габбро, габбро-диоритов и диоритов, которые отчетливо тяготеют к долгоживущим тектоническим зонам. Возраст гранитоидов доживетский, ибо они не поднимаются в разрезах Магнитогорского прогиба выше туфогенных флишоидов  $D_2$  (Грабежев, 1992).

Рудные тела имеют меридиональное простирание при западном падении под углом 50 - 70°. По простиранию оруденение прослежено на 1000 м, по падению разведано до глубины 600 м и не оконтурено. Главные рудные минералы - пирит и халькопирит, второстепенные - молибденит, пирротин, редкие - борнит, халькозин, ковеллин, теннантит, сфалерит, галенит, магнетит, гематит и ильменит. Медь - главный полезный компонент, заслуживающий промышленного освоения.

Минерализованная зона охватывает почти всю площадь массива и представлена слабо контрастным метасоматическим ореолом пропилитового типа (ассоциация хлорита, клиноцоизита, пренита, серицита, альбита), характеризующимся густой вкрапленностью пирита. Тела прожилково-вкрапленных руд локализуются в ореолах гидротермально измененных пород, развивающихся по всем разновидностям интрузивных образований, но в большей мере по порфировым андезидацитам.

Объекты данного формационного типа практического значения в отноше-

нии молибдена не имеют.

Таким образом, среди эндогенных молибденоворудных формаций промышленное значение имеют вольфрам-молибденовая грейзеновая, медномолибденовая кварц-полевошпатовая и молибденово-медная кварц-серицитовая формации.

Положение 3. Молибденсодержащие рудно-метасоматические формации представлены редкометалльной альбититовой, редкометалльредкометалльно-вольфрамовой грейзеновой, редкопегматитовой, ной вольфрамовой гумбеитовой, молибденметалльной карбонатитовой, урановой аргиллизитовой, медно-железорудной скарновой, а также месторождениями колчеданного семейства. Практический интерес в отношении молибдена могут представлять редкометалльная альбититовая, редкометалльная карбонатитовая и редкометалльно-вольфрамовая грейзеновая формации.

Среди эндогенных молибденсодержащих формаций на Урале выделяются следующие формации: редкометалльная альбититовая, редкометалльновольфрамовая грейзеновая, редкометалльная пегматитовая, редкометалльная карбонатитовая, железо- и медножелезорудная скарновая, и молибденсодержащие формации колчеданного семейства.

### Формация редкометалльных альбититов

Изучению гранитного магматизма и связанного с ним редкометалльного оруденения на Урале посвящены работы Апельцина Ф. Р., Вигоровой В. Г., Голдина Б. А., Грабежева А. И., Грязнова О. Н., Душина В. А., Золоева К. К., Калиновского А. В., Караченцева С. Г., Краснобаева А. А., Левина В. Я., Лучинина И. Л., Львова Б. К., Мормиля С. И., Охотникова В. Н., Рапопорта М. С., Самаркина Г. И., Старкова В. Д., Ферштатера Г. Б., Чащухиной В. А., Штейнберга Д. С., Юшкина Н. П. и других геологов.

Редкометалльные апогранитные альбититы установлены в Полярно-Уральском и Ляпинско-Кутимском мегаблоках Центрально-Уральской мегазоны (см. рис. 1-2), Сысертско-Ильменогорском, Сосьвинско-Коневском и Адамовско-Мугоджарском мегаблоках Восточно-Уральской мегазоны. Гранитные массивы, в пределах которых зафиксирована редкометалльная альбититовая минерализация относятся к гранитной и адамеллит-гранитной формациям позднепалеозойского возраста коллизионной стадии развития. Перечислим основные гранитные массивы, в связи с которыми проявлены редкометалльные альбититы. Это Тайкеуский, Маньхамбовский, Ильяизский, Малопатокский на Севере Урала, Шамейский, Кварцевогорский, Галочьегорский, Зенковский на Среднем Урале, Борлинский на Южном Урале.

Метасоматические образования альбититовой формации Полярного Урала (месторождения Тайкеуское, Устьмраморское, Лонгот-Юганское) приурочены к западному крылу Харбейского антиклинория, осложненного поперечной

структурой северо-западного (Пайхойского) направления и ограниченной разломами глубинного заложения. Вмещающие породы представлены эпидот-хлоритовыми, хлорит-амфиболовыми сланцами и метаэффузивами с прослоями известняков и гравелитов няровейской свиты ( $R_{2-3}$ ) (Грязнов, 1992, Душин, 1997), претерпевших региональный зеленокаменный (пренит-пумпеллеитовая субфация) и зеленосланцевый (биотит-эпидот-актинолитовая и эпидот-хлоритовая субфации) метаморфизм. Интрузивные образования площади по (Грязнов и др., 1986, Грязнов, 1992, Душин, 1997) относятся к габбро-диоритгранодиоритовой ( $R_3$ ), гранит-лейкогранитовой (V-E) и гранитной ( $C_3$ -P) формациям. Последняя представлена телами микроклин-пертитовых гранитов и гранитогнейсов. Их геохимический спектр характеризуется повышенными (надкларковыми) содержаниями Nb, Ta, Be, Y, Yb.

Граниты и гранитогнейсы практически во всем объеме массивов в той или иной степени альбитизированы. Альбититы образуют зональный ореол, в котором выделяются внешняя (кварц-альбит-микроклиновая), промежуточная (кварц-альбитовая) и внутренняя (альбититовая) зоны.

Кварц-альбитовые метасоматиты и альбититы проявлены локально и слагают линейно вытянутые тела в центральных и эндоконтактовых частях массивов. Дальнейшее изменение P-T условий и кислотности-щелочности гидротермальных растворов обусловило формирование мусковит-кварцевых, флюорит-мусковитивых и кварцевых метасоматитов, представляющих собой грейзеновые фации формации апогранитных редкометалльных альбититов.

Геохимические спектры всех фаций альбититов качественно близки, что может свидетельствовать о принадлежности их к единой метасоматической формации. В направлении от кварц-альбит-микроклиновых к слюдистым метасоматитам идет последовательное увеличение концентраций рудных элементов. Рудная минерализация прожилково-вкрапленного и вкрапленного типов характеризуется относительно высокими концентрациями Рb, Мо, Сu, Тi, Zn. Молибден в редкометальных альбититах образует линейные ореолы, развитые как в телах гранитов и гранито-гнейсов, так и за их пределами, в сланцевом обрамлении (рис. 3). Наиболее интенсивные ореолы молибдена фиксируются в зонах развития грейзеновой фации альбититовой формации.

На Среднем Урале тела метасоматитов альбититовой формации по (Грабежев, 1995, 1981) распространены в пределах Шамейского, Зенковского, Кварцевогорского, Галочьегорского массивов.

Граниты Шамейского массива характеризуются повышенными содержаниями Ве и Мо. Максимальные концентрации молибдена в минералах Шамейского массива фиксируются в наложенных грейзеновых фациях. Количество молибденита в гранитах варьирует от 10 г/т до 1400 г/т.

Геохимическая специализация редкометалльных альбититов Среднего Урала определяется повышенными содержаниями (в кларках концентрации) F(6,37), Mo (4,27), Nb (3,12), Be (2,89), Ta (2,12), Cs (2,52). Грейзеновым фациям альбититовой формации свойственны повышенные концентрации Mo (10,87), F (4,82), Sn (3,62), Be (3,26), Cs (2,6), Li (2,23), B (2,14), Rb (1,8), Nb (1,56), Pb

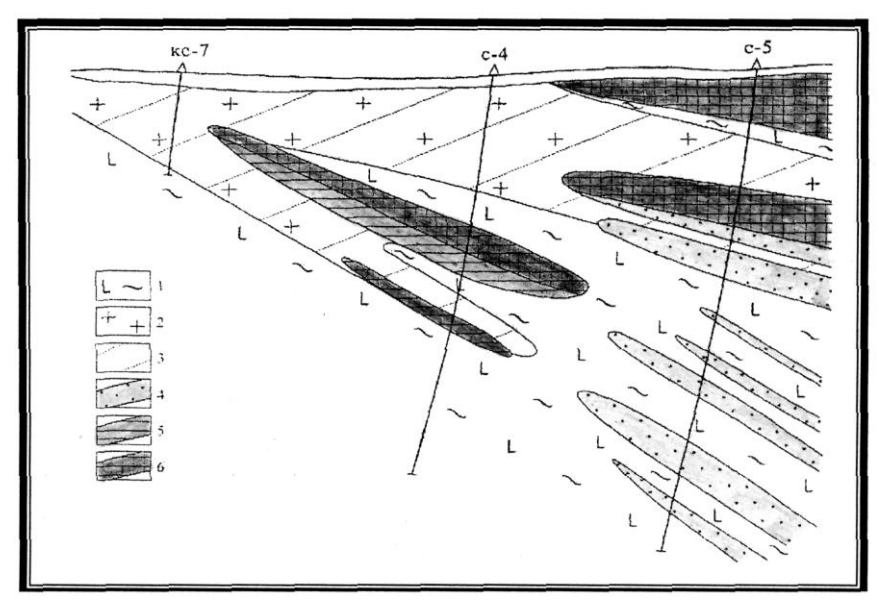


Рис. 3. Геохимические ореолы молибдена по профилю IV Устьмраморного месторождения редкометалльных альбититов

(по Ю.А. Дворникову, О.Н. Грязнову, В.И. Чеснокову, В.А. Елохину) 1 - сланцы эпидот-хлоритовые, хлорит-амфиболовые; 2 - граниты, гранитогнейсы микроклин - пертитовые; 3 - ореол альбититов; 4-6 - ореолы молибдена: 4 -  $Ca_1$  -  $Ca_2$ ; 5 -  $Ca_2$  -  $Ca_3$ ; 6 -  $Ca_3$ 

### Редкометалльно-вольфрамовая грейзеновая формация

В пределах Уральского региона месторождения редкометалльновольфрамовой грейзеновой формации формировались в две металлогенические эпохи: раннепалеозойскую и позднепалеозойскую. Раннепалеозойские объекты формировались в условиях рифтогенеза, в связи с проявлением магматизма граносиенит-габбро-гранитной формации (Душин, 1997), а позднепалеозойские – в связи с проявлением коллизионного магматизма гранитной формации.

Месторождения редкометалльно-вольфрамовой грейзеновой формации раннепалеозойской металлогенической эпохи развиты в Ляпинском антиклинории Центрально-Уральской мегазоны и сосредоточены в Торговском рудном узле, включающем более 79 проявлений, связанных с Торговским, Кефталыкским, Хартесским, Малопатокским гранитными массивами и окружающими их кислыми эффузивами. Наиболее крупным и изученным объектом рудного узла является Торговское редкометалльно-вольфрамовое грейзеновое месторождение.

Жильное поле Торговского месторождения приурочено к блоку сильно дислоцированных и метаморфизованных рифейско-кембрийских пород, зажатому между крупными гранитными массивами (Юшкин и др., 1972).

В экзоконтактовой зоне гранитных массивов в эффузивно-осадочных породах широко развиты кварцевые жилы нескольких генераций. Жилы имеют сложное строение с частыми перерывами и раздувами, и прослеживаются по

простиранию на 300-400 м. Основным морфологическим типом являются лин-зовидно-четкообразные жилы.

Вольфрамовая и сопутствующая ей минерализация контролируется зоной разлома, в пределах которой жильные образования и вмещающие породы в той или иной степени минерализованы. На месторождении выделяют два этапа формирования жил - дорудный и рудный. Дорудный этап характеризуется образованием четковидных жил, сложенных кварцем с мелкочешуйчатым хлоритом и пластинчатым ильменитом в зальбандах. Рудный этап наложился как на жилы дорудного этапа, так и на вмещающие их породы. Рудный этап разделяется на четыре стадии минерализации. Характерными элементами берилл-шеелитовой стадии являются W, Be, Y, La, Ce, P, Ga, Ge, V, Ti, Ba, Zr; касситерит-пиритовой и молибденит-халькопиритовой — Sn, Cu, As, Ni, Co, Mn, Ba, Mo; айкинитовой — Вi, Pb, Cu, Ag, Sb, La. Изменения вмещающих пород, синхронные рудной стадии, выражаются в их незначительной альбитизации, сменившейся во времени интенсивной мусковитизацией, хлоритизацией и окварцеванием.

Наиболее значительная зона развития редкометалльно-вольфрамовых грейзеновых месторождений позднепалеозойской металлогенической эпохи представлена Боевско-Биктимировским рудным районом, исследованию которого посвящены работы Грабежева А. И., Двоеглазова, Ионовой Т. Н., Калугина В. И., Коровко А. В., Кузовкова Г. Н., Овчинникова Л. Н., Олерского П. К., Олерской Р. С., Покровского П. В., Попова Б А., Поташко К. А., Рапопорта М. С., Рундквиста Д. В., Щулькина Е. П. и др.

Месторождения обладают различным набором рудных минералов: Пороховское и Юго-Коневское месторождения являются молибденит-гюбнеритовыми, Карасьевское и Боевское содержат берилл-гюбнеритовую минерализацию. В последнем вольфрамоносные кварцевые жилы пересекают флюорит-мусковитовые метасоматиты с берилловым оруденением одноименного бериллового месторождения. Всем месторождениям свойственна малостадийность минералообразования (не более 2-4 стадий) и преимущественно жильный характер минерализации. Жилы месторождений имеют небольшие размеры, не выдержаны по мощности и простиранию, содержат линзы рассланцованных вмещающих пород, часто сложно ветвятся.

В пределах рудного района почти все известные редкометальновольфрамовые месторождения находятся в местах пересечения рудоконтролирующих субмеридиональных разрывных нарушений близширотными, либо в непосредственной близости от мест их пересечения (табл. 6).

Для редкометалльно-вольфрамовых грейзеновых месторождений Боевско-Биктимировского рудного района характерно (Золоев и др., 2004): залегание среди пород разного состава и возраста; разные геолого-структурные условия образования; различная удаленность от гранитных тел; разнообразная морфология рудных жил; наличие минералов-спутников продуктивной редкометалльно-вольфрамовой минерализации: молибденита, висмутина, сульфидов халькофильных элементов и железа. Выше отмеченные особенности свидетельствуют о том, что формирование редкометалльно-вольфрамовых месторождений в

Таблица 6 Сравнительная характеристика месторождений редкометалльно-вольфрамой грейзеновой формации Урала

	треизеновой формации урал			
	Месторождения раннепалео-	Месторождения позднепале-		
Параметры	зойской металлогенической	озойской металлогенической		
	эпохи	эпохи		
1	2	3		
Геодинамический режим	Рифтовый	Коллизионный		
Структуры I порядка	Центрально-Уральское под-	Тагильско-Магнитогорская		
	нятие (мегазона)	Восточно-Уральская, За-		
	,	уральская мегазоны, Восточ-		
		но-Уральский прогиб (мега-		
		зона)		
Структуры II порядка	Мегантиклинории (мегабло-	Мегантиклинории (мегабло-		
	ки) – 100 %	ки) – 36 %		
	Mi) 100 /0	Мегасинклинории (мегабло-		
		ки) – 64 %		
Структуры III порядка	Антиклинории – 100 %	Антиклинории – 52,2 %		
Структуры пт поридки	1 1 1 1 1 1 1 1 1 1 1 1 1 1 1 1 1 1 1	Синклинории – 47,8 %		
Структуры более высоких	Синклинальные структуры,	Антиклинальные структуры,		
порядков	системы тектонических на-	системы тектонических на-		
порядков	рушений	рушений		
Физические поля:	рушении	рушении		
Поле силы тяжести, $n \times 10^{-2}$				
$\frac{11000 \text{ Cullibil lankeellii, if x 10}}{\text{MM/c}^2}$	1-10	-38 - +22		
	57,0-57,5	46-60		
Мощность коры, км	· · · · ·			
Основность коры, г/см <sup>3</sup>	2,0-2,1	1,9-2,2		
Напряженность магнитного	2 .01	3 . 3		
поля, мЭ	-3 - +0,1 2,87,2,80	-2 - +3 2 94 2 90		
Плотность коры, г/см <sup>3</sup>	2,87-2,89	2,84-2,89		
Стратоизогипсы поверхно-	-20	-2512,5		
сти базальтового слоя, км	F	F		
Продуктивная магматиче-	Граносиенит-габбро-	Гранитовая		
ская формация	гранитная			
Геологический возраст	€ <sub>3</sub> - O	C <sub>3</sub> -P		
гранитов		3.6 7.1 7.		
Геохимическая специали-	Sc, Sn, Y, Be, Pb, Zr, Cu, Nb	Mo, Pb, Be		
зация гранитов				
Глубина формирования	Гипабиссальные	Мезо-гипабиссальные		
гранитов				
Положение оруденения от-	Зоны экзоконтактов гранитов,	Зоны эндоконтактов грани-		
носительно интрузивных	реже эндоконтактовые зоны	тов, зоны экзоконтактов гра-		
пород		нитов		
Морфологический тип руд-	Жильный, прожилково-	Жильный, прожилковый,		
ных тел	вкрапленный	прожилково-вкрапленный,		
		штокверковый		
Рудная фация (минераль-	Берилл-шеелитовая, кассите-	Берилл-гюбнеритовая, мо-		
ный тип)	рит-пиритовая, молибденит-	либденит-вольфрамитовая,		
	халькопиритовая, айкинито-	вольфрамитовая		
	вая			

1	2	3
Минеральный состав руд Геохимический спектр руд	Шеелит, вольфрамит, берилл, пирит, молибденит, халькопирит, пирротин, касситерит, галенит, тетраэдрит, айкинит, сфалерит, барит, монацит, алланит, апатит, титанит, рутил, гематит, магнетит  W, Bi, Mo, Sn, Be, Y, La, Cu	Пирит, вольфрамит, шеелит, халькопирит, берилл, висмутин, молибденит, сфалерит, галенит, касситерит, арсенопирит, блеклая руда, гюбнерит, кубанит  W, Be, Bi, Sn, Mo, Pb
Отношение вольфрама к молибдену в рудах	4,7	5 - 60
Положение оруденения в обобщенной полиформационной метасоматической зональности	Региональный метаморфизм зеленосланцевой фации — автометасоматическая альбитизация — метасоматиты грейзеновой формации — дислокационный метаморфизм	Региональный метаморфизм зеленосланцевой фации — автометасоматоз — метасоматиты грейзеновой формации — дислокационный метаморфизм
Околорудная метасоматическая формация	Грейзеновая	Грейзеновая
Метасоматическая фация грейзеновой формации	Кварц-мусковитовая, мусковит-полевошпатовая	Мусковит- полевошпатовая, мускови- товая, мусковит- флюоритовая
Миграция вещества при метасоматозе:		
+ привнос - вынос	K, Al, Fe, F, ±Si, ±Si, Na	K, Al, Fe, F, ±Si, ±Si, Na
Геохимическая специализация метасоматитов	W, Bi, Mo, Sn, Be, Y, La, Cu	F, Be, Rb, Cs, Sn, W, Mo, Pb
Примеры месторождений	Торговское, Малопатокское и др.	Пьянковское, Юго-Коневское, Игишанское и др.

районе происходило на разных глубинах, в разных по составу, физико- химическим и физико-механическим свойствам горных породах. Благодаря этому, каждое месторождение обладает своими специфическими особенностями.

В зависимости от физико-химических условий образования, уровня эрозионного среза, состава исходных пород, подвергшихся метасоматическому преобразованию, выделяются различные метасоматические и рудные фации (минеральные типы), которые и определяют отличия месторождений, сформировавшихся в различные металлогенические эпохи.

## Редкометалльные пегматиты

Редкометалльные пегматиты Урала развиты в экзоконтактовых зонах крупных батолитов позднепалеозойских гранитов Восточно-Уральской мегазоны и приурочены к блокам земной коры, характеризующимся вариациями параметров физических

полей. Пегматитовые жилы представлены микроклиновыми, микроклинальбитовыми и альбитовыми разностями, протяженностью от десятков метров до первых километров, при мощности от десятков сантиметров до десятков метров. Форма жил обычно сложная с многочисленными раздувами, пережимами, разветвлениями.

Изучением пегматитов Урала в разное время занимались Аринштейн М. Б., Вертушков Г. Н., Власов К. А., Грабежев А. И., Григорьев Н. А., Еремеев П. В., Еселевич Л. В., Зубов М. А., Катькалов А. В., Коган И. С., Кокшаров Н. И., Ласковенков А. Ф., Львов Б. К., Мамаев И. Н., Машаров А. А., Мормиль С. И., Олерский П. К., Петрова Н. И., Подногин А. К., Рапопорт М. С., Савеня Н. В., Самсонов А. В., Сергеев Н. С., Скобелкин В.И., Солодов Н. А., Таланцев А. С., Ферсман А. Е., Чистяков Н. Е., Шерстюк А. И., Юринский Н. А. и др.

Классическим примером редкометалльных пегматитов является Адуйское рудное поле.

Адуйское рудное поле включает серию пучков-свит сближенных пегматитовых тел в зонах восточного и южного экзоконтактов Адуйского гранитного массива. В пределах поля установлено несколько сот пегматитовых жил, объединенных в 11 пучков. Степень дифференциации пегматитов, их полевошпатовый состав, интенсивность метасоматических изменений и насыщенность редкими металлами коррелируется с удалением пегматитов от кровли массива (Золоев др., 2004). В эндоконтактах гранитного массива залегают фациальные и фазовые пегматиты. В средней части экзоконтактной зоны Адуйского массива расположены слабо дифференцированные, нередко линейно дифференцированные пегматиты. Максимально дифференцированные зональные пегматиты с преобладанием первичного альбита над микроклином, с интенсивно проявленным метасоматозом и наиболее высокими содержаниями редких металлов концентрируются в краевых восточных частях пучков, наиболее удаленных от гранитного массива. Здесь кварц-мусковитовый парагенезис с флюоритом (грейзеновая ассоциация) и молибденитом слагает отдельные гнезда и прожилки. В альбитизированных участках фиксируются самые высокие содержания Та. Дифференцированные пегматиты наиболее богаты танталит-колумбитом, гранатом, апатитом, циртолитом, бериллом, ганитом, флюоритом, сульфидами, турмалином. В них часто присутствуют пирохлор, самарскит, фергусонит, эвксенит, иногда встречаются топаз, лепидолит, розовый мусковит, рутил, ильменит.

# Формация редкометалльных карбонатитов

Проблема карбонатитов и их рудоносности освещена в ряде обобщающих работ и в многочисленных статьях: Е. М. Еськовой, А. Г. Жабина и Г. Н. Мухитдинова, А. Г. Жабина, Н. В. Свяжина, В. Я. Левина и др. Жильный тип карбонатитов, связанных с щелочными комплексами, установлен на Урале достаточно давно. Они выявлены в щелочной провинции Ильменских-Вишневых гор (месторождения: Потанинское, Булдымское, Светлоозерское, Вишневогорское и др.) и на западном склоне Урала (месторождение «Сибирка»). Наиболее

крупным месторождением этого формационного типа является месторождение «Сибирка».

По данным (Золоев и др., 2004) месторождение «Сибирка» сложено полевошпатовыми, фельдшпатоидно-полевошпатовыми и карбонатитовыми метасоматитами с тонкозернистой редкометалльной минерализацией, развитыми по трахиандезибазальтам небольшой вулканической структуры и вмещающим ее осадочным породам бакальской и саткинской свит нижнего рифея на Западной континентальной окраине Урала на стыке двух крупных структур: Башкирского и Уралтауского мегаблоков. Оруденение контролируется зоной тектонического нарушения, оперяющего глубинный Юрюзано-Зюраткульский разлом. Месторождение является комплексным с промышленными содержаниями каждого из металлов:  $Nb_2O_5$  - 0.12-0.9 %;  $Ta_2O_5$  - 0.011-0.030 %;  $ZrO_2$  - 0.01-0.50 %;  $Th_2O_3$  - 0.010-0.50 %;  $Ta_2O_5$  - 0.01-0.00 %;  $Ta_2O_5$  - 0.01-0.00 %;  $Ta_2O_5$  - 0.01-0.00 %;  $Ta_2O_5$  - 0.01-0.00 %;  $Ta_2O_5$  - 0.00-0.00 %;  $Ta_2O_5$  - 0.00-0.00

В рудах месторождения находятся 20 минералов с Та и Nb. Особое положение занимает Мо, образующий примесь в редкометалльных рудах и формирующий отдельные рудные тела с собственными и совмещенными редкометалльно-молибденитовыми рудами. Основные руды месторождения редкометально-гематитовые, редкометальные, редкометально-молибденовые, молибденовые и флюоритовые. Для всех типов редкометалльных руд характерна высокая тонкозернистость рудных минералов и их тесное срастание с породообразующими минералами, включая гематит. Содержания Мо изменяются от 0,001 до 0,8 %, при среднем содержании в собственных рудах 0,38 %. В пробах встречаются Au - от следов до 0,2 г/т и Ag - от следов до 7,6 г/т. Флюорит в рудах образует прожилковые выделения и мелкую вкрапленность (0,3-0,5 мм в поперечнике) темно-фиолетового цвета, большей частью в ассоциации с эгирином, апатитом, дернитом. Рудные тела на месторождении оконтурены по результатам опробования ( $Nb_2O_5$  - 0,10 %;  $Ta_2O_5$  - 0,01 %), для руд молибдена по содержанию 0,1 %. Молибденовое оруденение на месторождении сосредоточено в его центральной части в 4 рудных телах между профилями VI и IX, но встречается и в других местах. Размеры рудных тел: длина – 100 – 150 м, мощность 9 - 20 м. Содержания Мо в отдельных пробах колеблется от 0,1 до 2,85 %.

Таким образом, проведенные исследования молибденсодержащих редкометалльных месторождений позволяют сделать следующие основные выводы:

1) метасоматиты альбититовой формации развиты в связи с проявлением позднепалеозойского гранитного магматизма коллизионной стадии, геохимически специализированного на Nb, Be, Ta; 2) Мо на альбититовых объектах Урала ведет себя по-разному, но отмечается одна характерная особенность, выражающаяся в накоплении Мо на стадии кислотного выщелачивания; 3) на объектах редкометалльно-вольфрамовой грейзеновой формации молибденовая минерализация проявлена по-разному (от кларковых содержаний до значимых концентраций); 4) наиболее значимыми объектами в отношении Мо являются месторождения, сформировавшиеся в менее глубинных условиях и характеризующихся полистадийностью образования; 5) месторождения редкометалльно-

вольфрамовой грейзеновой формации являются более древними по отношению к месторождениям вольфрам-молибденовой грейзеновой формации; 6) месторождения редкометалльно-вольфрамовой грейзеновой формации характеризуются относительно более высокими температурами образования; 7) наиболее богатая редкометалльная минерализация в пегматитах связана с процессами альбитизации, сопоставимыми с формацией редкометалльных альбититов; 8) молибденовая минерализация в пегматитах развивается в связи с проявлением процессов грейзенизации, являющихся фацией альбититовой формации; 9) молибденовая минерализация на карбонатитовых объектах развита в связи с проявлением щелочного метасоматоза, точнее с грейзеновыми фациями формации шелочных метасоматитов.

## Железо- и медно-железорудная скарновая формация

Среди скарновых месторождений на Урале выделяются магнетитовые, халькопирит-магнетитовые и молибденит-халькопирит-магнетитовые месторождения, которые сформировались в две металлогенические эпохи: рифейсконижнекембрийскую средне-верхнепалеозойскую. И рифейсконижнекембрийскую металлогеническую эпоху, в условиях коллизионного геодинамического режима и в связи с проявлением магматизма адамеллитгранитовой формации (Душин, 1997) развиты объекты халькопирит-магнетитового типа, типичным представителем которого является Немурюганское рудопроявление, расположенное на границе Изъяхойского антиклинория и Талота-Пайпудынского синклинория Полярно-Уральского мегаблока Центрально-Уральской мегазоны. Оно приурочено к блоку, характеризующемуся следующими значениями параметров физических полей: мощность коры - 55, 0 км, плотность коры - 2,91 г/см<sup>3</sup>, напряженность магнитного поля -+2.0 мЭ, основность коры -2.3 г/см<sup>3</sup>, поле силы тяжести -+40.0 х  $10^{-2}$  мм/с<sup>2</sup>, глубина залегания поверхности базальтового слоя - -20,0 км.

Участок рудопроявления сложен породами немуръюганской свиты - кварц-серицит-хлоритовыми сланцами с прослоями туфов кислого состава, телами кварцитов мощностью до 60 м и протяженностью до 700 м, доломитами, реже известковыми доломитами и известняками и включает 5 скарновых тел с повышенными содержаниями Sn, Mo, WO<sub>4</sub> и Cu. В верхней, существенно карбонатной части разреза сланцы изменены и имеют кварц-полевошпатмусковитовый, альбит-кварц-актинолитовый, кварц-альбит-хлоритмусковитовый состав. Рудная минерализация представлена молибденитом, шеелитом, молибдошеелитом, халькопиритом.

В средне-верхнепалеозойскую металлогеническую эпоху формировались халькопирит-магнетитовые (медно-железорудные) и магнетитовые (железорудные) скарновые месторождения. Их образование происходило в условиях активной окраины и связано с проявлением магматизма тоналит-гранодиоритовой и габбро-гранитной формаций (Сазонов и др., 2000) (Ауэрбахо-Турьинское рудное поле, Вадимо-Александровская, Фроловская группы месторождений и др.).

Скарны, обладая повышенной хрупкостью и пористостью, развиваясь в благоприятных тектонических обстановках, нередко являются той средой, на которую накладывается более позднее, иногда значительно оторванное во времени, оруденение (например, Коклановское месторождение).

Выполненные исследования позволяют сделать следующий основной вывод:

- промышленный интерес в отношении молибдена представляют скарново-рудные поля с наложенной сульфидной минерализацией.

## Молибденсодержащие формации колчеданного семейства

Колчеданные месторождения формировались на всем протяжении геологической истории Земли и известны на всех континентах. Вопросам геологического строения, условиям размещения, генезиса и рудно-формационной типизации колчеданных месторождений посвящены многочисленные работы (Бородаевская и др., 1975, 1977, 1979, Заварицкий, 1963, Медноколчеданные ...,1985, 1988, 1992, Прокин, 1977, Серавкин, 1986 и др.).

Руды этих месторождений составляют основу минерально-сырьевой базы медной промышленности Урала.

Месторождения колчеданного семейства на Урале выявлены в пределах Центрально-Уральской, Тагильско-Магнитогорской, Восточно-Уральской мегазоны и Восточно-Уральского прогиба (мегазоны). Подавляющая часть объектов (более 75 %) установлена в Тагильско-Магнитогорской мегазоне, значительно меньше (около 20 %) в Центрально-Уральской мегазоне. Более 80 % месторождений расположено в опущенных структурах второго порядка. Следует отметить, что все средние, крупные и уникальные месторождения выявлены только в Тагильско-Магнитогорской мегазоне. Блоки земной коры, в которых выявлены месторождения колчеданного семейства характеризуются следующими параметрами физических полей: мощность коры — 50 - 60 км, плотность коры — 2,84-2,92 г/см³; магнитное поле - -5 - +2 мЭ; стратоизогипсы поверхности базальтового слоя - -10 - -22,5 км, при модальном значении - -15 км; основность коры — 1,9-2,5 г/см³. Более 90 % месторождений приурочено к блокам земной коры, характеризующимся положительными значениями поля силы тяжести ( $+4 - +75 \times 10^{-2}$  мм/с²).

Корреляционный анализ позволил установить, что в блоках, в которых расположены колчеданные объекты, устанавливаются следующие типы связей. Поле силы тяжести имеет прямую положительную связь с плотностью и основностью коры и глубиной залегания поверхности базальтового слоя. Плотность коры, в свою очередь, коррелируется с мощностью и основностью коры. Мощность коры связана с основностью коры и имеет отрицательную связь с величиной магнитного поля.

Факторный анализ, выполненный на основе корреляционной матрицы, позволил выделить три основных фактора, определяющих расположение региональных физических полей и месторождений в Уральском складчатом поясе.

Наибольший вклад в общую дисперсию вносит фактор 1 (суммарная дисперсия равна 37,82 %). Суммарная дисперсия фактора 2 и фактора 3 составляют соответственно, 15,71 и 21,29 %.

Значительный вклад в фактор 1 вносят: поле силы тяжести, плотность и основность коры. Значительный вклад в фактор 2 вносит масштаб объекта. Мощность коры и напряженность магнитного поля являются определяющими параметрами фактора 3.

В докембрийских отложениях Урала в настоящее время не выявлено промышленных колчеданных месторождений, но известны небольшие колчеданные залежи и многие рудопроявления, например, Хараматалоуская площадь Полярного Урала.

В пределах Хараматолоуской площади известно несколько рудопроявлений и ряд точек минерализации относящихся к серно-медноколчеданной кварц-серицит-хлориовой и медно-цинковоколчеданной кварц-серицит-хлоритовой рудным формациям. Эти рудопроявления формировались в условиях островодужной геодинамической обстановки и развиты в связи с проявлением вулканизма формации натровых базальтов-риолитов (R<sub>3</sub>), (Душин, 1997).

Выполненные геохимические исследования позволяют утверждать, что Мо в колчеданных рудах Хараматолоуской площади является типоморфным элементом. Установленные геохимические спектры различных геохимических типов руд колчеданных объектов Хараматолоуской площади могут быть использованы при геохимических поисках. Наличие концентраций Мо в колчеданных рудах следует учитывать при определении формационной принадлежности прожилково-вкрапленной и вкрапленной медной минерализации.

Таким образом, промышленный интерес могут представлять объекты редкометалльной альбититовой, редкометалльной карбонатитовой и редкомеалльно-вольфрамовой грейзеновой формаций, где молибден может извлекаться попутно.

Особую категорию молибденсодержащих объектов представляют техногенно-минеральные образования. Их практическое значение не выяснено. Они находятся в стадии геологического, технологического и экологического изучения.

Положение 4. Маркетинговые исследования Азиатского, Американского, Европейского, Российского и Мирового рынков характеризуют положительную тенденцию потребления вольфрама и молибдена. Структура молибденовой подотрасли в Российской Федерации и геолого-экономическая оценка объектов Урала свидетельствуют о целесообразности освоения месторождений молибдена. Выполненные прогнозные исследования позволили выделить площади, перспективные на выявление промышленных месторождений вольфрам-молибденовой грейзеновой формации.

Любое предприятие, в том числе и предприятие минерально-сырьевого комплекса, действует в условиях внутренних и внешних факторов, оказываю-

щих непосредственное влияние на результаты его деятельности. Изменения, происходящие в рыночной среде, требуют проведения маркетинговых исследований. Одним из направлений таких исследований является изучение объема рынка и прогноз его развития. Под исследованием рынка понимается систематический сбор, сортировка и анализ данных, необходимых для принятия решений. Целью настоящей работы является анализ рынков вольфрама и молибдена. Совместное рассмотрение W и Мо обусловлено тем, что оба металла используются для производства различных видов сталей. Исходным материалом для решения поставленной задачи послужили данные, опубликованные в открытой печати: монографии, учебники, обзоры, доклады, статьи, Интернет-сайты. Исследования проведены по крупным региональным рынкам W и Mo: Российскому, Американскому, Азиатскому, Европейскому и в целом по Миру и охватывают период с 1991 по 2002 г. г. (табл. 7). Параметры, которые использовались при анализе рынков: производство стали, производство W, потребление W, экспорт W продуктов, экспорт W, экспорт W руд, импорт W, импорт W руд и концентратов, цена на W концентрат, цена на паравольфрамат аммония, цена на ферровольфрам, производство Мо, потребление Мо, экспорт Мо, импорт Мо, цена на оксид молибдена на Американском рынке, цена на оксид молибдена на Западноевропейском рынке, цена на ферромолибден.

С целью выявления связей между основными показателями, установления факторов, оказывающих влияние на рынок, выяснения зависимостей между показателями выполнены корреляционный, кластерный, факторный и регрессионный анализы.

Прогнозные ресурсы Мо в России оцениваются в 1580 тыс. т (около 7 % мировых), из них ресурсы категории  $P_1$  составляют менее 2 % и сосредоточены в Свердловской области. Более 70 % ресурсов категорий  $P_2$  и  $P_3$  локализовано в Сибирском федеральном округе (Государственный доклад ..., 2002).

Балансовые запасы Мо в России учитываются по 9 месторождениям, на пять из которых к началу 2002 г. были выданы лицензии на добычу. Наиболее значимым является Сорское месторождение в меньшей степени — Жирекенское месторождение. Обеспеченность действующих предприятий разведанными запасами варьирует от 10 до 30 лет. Почти три четверти добычи руд и производства молибденового концентрата осуществляется компанией АО «Молибден» на Сорском месторождении. Чуть менее четверти руды добывается ОАО «Жирекенский молибден» на Жирекенском месторождении. В незначительных объемах молибден добывается на Тырныаузском месторождении.

Переработка концентратов ведется на Скопинском гидрометаллургическом заводе в Рязанской области, Челябинском электрометаллургическом комбинате, металлургическом предприятии компании АО «Победит» в г. Владикавказ.

Любые прогнозы имеют вероятностный характер, т. к. решения принимаются при частичной, а иногда и полной неопределенности информационных факторов и показателей. Прогнозы использования и развития минеральносырьевой базы, несмотря на многовариантные значения показателей, например,

Таблица 7 Сравнительная характеристика рынков вольфрама и молибдена

	ынтельная харак		1 1	
Азиатский	Американский	Европейский	Мировой рынок	Российский
рынок	рынок	рынок		рынок
1	2	3	4	5
Подтвержденные	Подтвержденные	Подтвержденные	Подтвержденные	Подтвержденные
запасы Мо на				
конец 2003 г				
3870 тыс. т	4606 тыс. т	10 тыс. т	8854 тыс. т	240 тыс. т
Подтвержденные	Подтвержденные	Подтвержденные	Подтвержденные	Подтвержденные
запасы W на				
01.01.021473	01.01.02 530	01.01.02 92	01.01.02 2352	01.01.02 250
тыс. т				
На рынок W и				
Мо оказывают				
влияние спрос и				
предложение.	предложение	предложение,	предложение, а	предложение, на
предложение.	предлежение	отсутствие соб-	также экономи-	рынок W оказы-
		ственной мине-	ческая ситуация	вает влияние
			пская ситуация	
		1		
		реэкспортная		ние в вольфра-
		деятельность не-		мовой отрасли
		которых евро-		
		пейских стран		
Спрос на W и				
Мо является не-				
эластичным	эластичным	эластичным	эластичным	эластичным
Рынок Мо явля-	Рынок Мо носит	Рынок	Рынок W и Мо	Рынок имеет
ется экспортно-	явно выражен-		носит явно вы-	экспортно-
импортным с	ную экспортную	вольфрама и мо-	раженную экс-	импортную на-
-		либдена носит	•	
преобладанием	направленность	явно выражен-	портную на-	правленность
импортного на-		-	правленность	
правления. Ры-		ную импортную		
нок W имеет		направленность		
четко выражен-		-		
ную экспортную				
направленность				
Объемы произ-	Производство	Произ-	Производство	Производство
водства стали не	стали зависит от	водство стали	стали связано с	стали не зависит
зависят от про-	импорта W		потреблением	от объемов про-
изводства и по-		зависит от про-	Mo	изводства Мо и
требления Мо и		изводства и по-	1,10	W
W				, **
<b>**</b>		требления Мо и		
		импорта W		
Объем произ-	Объем произ-	Производство	Производство	Производство
водства Мо за-	водства Мо за-	Мо связано с его	Мо связано с его	Мо имеет связь с
висит от его по-	висит от его по-	потреблением	потреблением,	производством
требления и им-	требления и экс-	1101Peonominem	экспортом, им-	W
-	*			**
порта	порта		портом	

Окончание табл. 7

1	2	3	4	5
Производство W	Производство	Производство W	Производство W	Производство
связано с его им-	W связано с его	не связано с его	имеет обратную	W связано с его
портом	экспортом	потреблением	связь с его экс-	потреблением
			портом	
Импорт W руд и	Объемы импор-	Объемы импорта	Объемы импор-	Импорт Мо свя-
концентратов	та W определя-	W определяются	та W определя-	зан с его экс-
зависит от по-	ются объемами	объемами произ-	ются объемами	портом
требления W и	производства	водства стали	производства и	
производства и	стали		потребления Мо	
потребления Мо			иW	
Экспорт Мо свя-	Экспорт Мо за-	На экспорт Мо не	На экспорт Мо	Экспорт Мо
зан с экспортом	висит от им-	оказывают влия-	влияют экспорт	связан с экспор-
W продуктов	порта W руд и	ние рассмотрен-	и импорт W	том W
	концентратов	ные факторы	продуктов	
На экспорт W	Экспорт W руд	Экспорт W связан	Экспорт W руд	Экспорт W свя-
оказывают влия-	зависит от про-	с производством и	связан с ценами	зан с ценами на
ние цены на па-	изводства W;	потреблением Мо	на них	него
равольфрамат				
аммония				
Отмечается зави-	Объемы по-	Потребление W не	Потребление W	Объемы по-
симость потреб-	требления W	связано с рассмат-	связано с им-	требления Мо
ления W от по-	определяются	риваемыми пара-	портом и экс-	зависят от объ-
требления Мо	объемами его	метрами	портом W	емов производ-
	импорта;			ства стали

прогноз добычи минерального сырья при разных ценах на него, являются объективной необходимостью. Обычно в основе прогнозов лежат приемы экстраполяции трендов и тенденций различной ретроспективной глубины на ближнюю и дальнюю перспективу.

С целью прогнозной оценки рынков вольфрама и молибдена применен метод экстраполяции трендов и регрессионный анализ, из которых следует: 1) Несмотря на колебания цен, потребления, производства, Мировой рынок Мо несет все признаки развивающегося рынка; на рынке W наметился определенный спад. 2) Американский рынок W и Мо может характеризоваться как растущий рынок. 3) На Европейском рынке, так же как и на Американском, отмечался рост производства стали, но здесь более отчетливо проявлена зависимость производства стали от потребления и импорта Мо и импорта W, а если учесть, что в Европе практически отсутствует своя минеральная база, но в то же время, имеются значительные мощности по производству стали, то на этом рынке всегда будет спрос на Мо и W. 4) Российский рынок Мо и W отличается от других рынков. С 1997 года наметился рост потребления Мо. В пересчете на душу населения уровень потребления молибдена в 1997 году составил 4 г (в развитых странах этот показатель составляет 100-140 г). В то же время в этот

же период с небольшими колебаниями нарастал экспорт Мо и W. Вероятно, это связано с поставками из резерва и за счет импорта (в счет государственного долга) из стран ближнего зарубежья. В целом, на Российском рынке наметилась тенденция роста потребления Мо. Но если посмотреть на структуру молибденовой подотрасли, то можно увидеть, что минерально-сырьевая база расположена на востоке РФ, а металлургические заводы на Урале и западе РФ. В то же время Урал обладает всеми необходимыми предпосылками для создания собственной молибденоворудной базы, что подтверждает актуальность данной работы.

Подавляющая часть минерально-сырьевого потенциала Мо на Урале представлена прогнозными ресурсами, доля запасов весьма незначительна. Запасы и ресурсы, как правило, авторские, значительная часть которых была определена для условий плановой экономики, поэтому в настоящее время они подлежат пересмотру и уточнению с учетом реалий рыночной экономики.

Минерально-сырьевой потенциал Мо представлен разнообразными месторождениями. Их степень изученности и подготовленности к освоению варьируют в широком диапазоне: от практически слабоизученных до практически готовых к использованию.

В соответствии с методическими разработками для оценки природных ресурсов применяется несколько видов: оценка валовой потенциальной стоимости запасов и прогнозных ресурсов; оценка извлекаемой ценности запасов и прогнозных ресурсов минерального сырья (оценка товарной стоимости); оценка по чистому доходу.

Валовая потенциальная стоимость минерального сырья рассчитывается путем перемножения суммарного количества сырья, вне зависимости от степени его подготовки к извлечению, на среднемировую цену, при этом условно считается, что все полезные ископаемые добыты, переработаны и складированы в виде конечного товарного продукта, готового к продажам по мировым ценам.

При определении товарной стоимости запасов и прогнозных ресурсов минерального сырья в недрах применяются поправочные коэффициенты к потенциальной стоимости, учитывающие степень надежности оценки количества запасов и ресурсов различных категорий, предполагаемый уровень извлечения полезного компонента в конечный продукт.

С целью определения практической значимости молибденовых и молибденсодержащих объектов Урала рассчитана их товарная стоимость. Из расчетов следует, что наиболее значимыми (в стоимостном выражении) являются месторождения вольфрам-молибденовой грейзеновой формации. Товарную стоимость месторождений других формационных типов определяют Си, W, Au, Re и др. металлы. Исходя из вышеизложенного, выполнена прогнозная оценка Урала (на количественной основе) в масштабе 1:1000000 по выявлению перспективных, на вольфрам-молибденовый грейзеновый тип, площадей. В результате выполненных исследований, на территории Урала выделилось 28 участков, содержащих различные количества прогнозных ресурсов молибдена.

Наиболее значимыми и заслуживающими первоочередного изучения являются площади, включающие Южно-Шамейское месторождение и месторождение «Восток». Пространственно перспективные площади распределились следующим образом: четырнадцать участков приурочены к Зауральской мегазоне, тринадцать участков – к Восточно-Уральской мегазоне и один – к Центрально-Уральской мегазоне (рис. 4).

## ЗАКЛЮЧЕНИЕ

Молибденовые и молибденсодержащие месторождения Урала имеют эндогенное и экзогенное происхождение.

Анализ опубликованной и фондовой литературы, а также собственных материалов позволил выделить рифейско-раннекембрийскую, раннепалеозойскую, среднепалеозойскую, среднепалеозойскую, позднепалеозойскую и позднепалеозойско-мезозойскую металлогенические эпохи формирования молибденоворудных и молибденсодержащих формаций на Урале.

Среди эндогенных молибденоворудных месторождений наибольший практический интерес представляют месторождения вольфрам-молибденовой грейзеновой формации а также месторождения порфирового семейства.

На объектах редкометалльно-вольфрамовой грейзеновой формации молибденовая минерализация варьирует в широких пределах (от кларковых содержаний до значимых концентраций). Наиболее значимыми объектами в отношении молибдена являются месторождения, сформировавшиеся в менее глубинных условиях и характеризующиеся полистадийностью образования.

Наиболее богатая редкометалльная минерализация в пегматитах связана с процессами альбитизации, сопоставимыми с формацией редкометалльных альбититов. Мо минерализация в пегматитах развивается в связи с проявлением процессов грейзенизации, представляющей фацию кислотного выщелачивания альбититовой формации.

Молибденовая минерализация на карбонатитовых объектах развита в связи с грейзеновыми фациями формации щелочных метасоматитов.

Скарны, обладая повышенной хрупкостью и пористостью, нередко являются той средой, на которую накладывается более позднее, иногда значительно оторванное во времени оруденение. Промышленный интерес в отношении Мо представляют скарново-рудные поля с наложенной сульфидной минерализацией.

В колчеданных рудах Мо чаще всего присутствует в виде элементапримеси, преимущественно в составе сульфидов, но и встречается в виде спорадических выделений молибденита. Наличие концентраций Мо в колчеданных рудах следует учитывать при определении формационной принадлежности прожилково-вкрапленной и вкрапленной медной минерализации.

Для изучения и оценки практической значимости молибденсодержащих техногенно-минеральных образований необходима постановка специализированных работ.

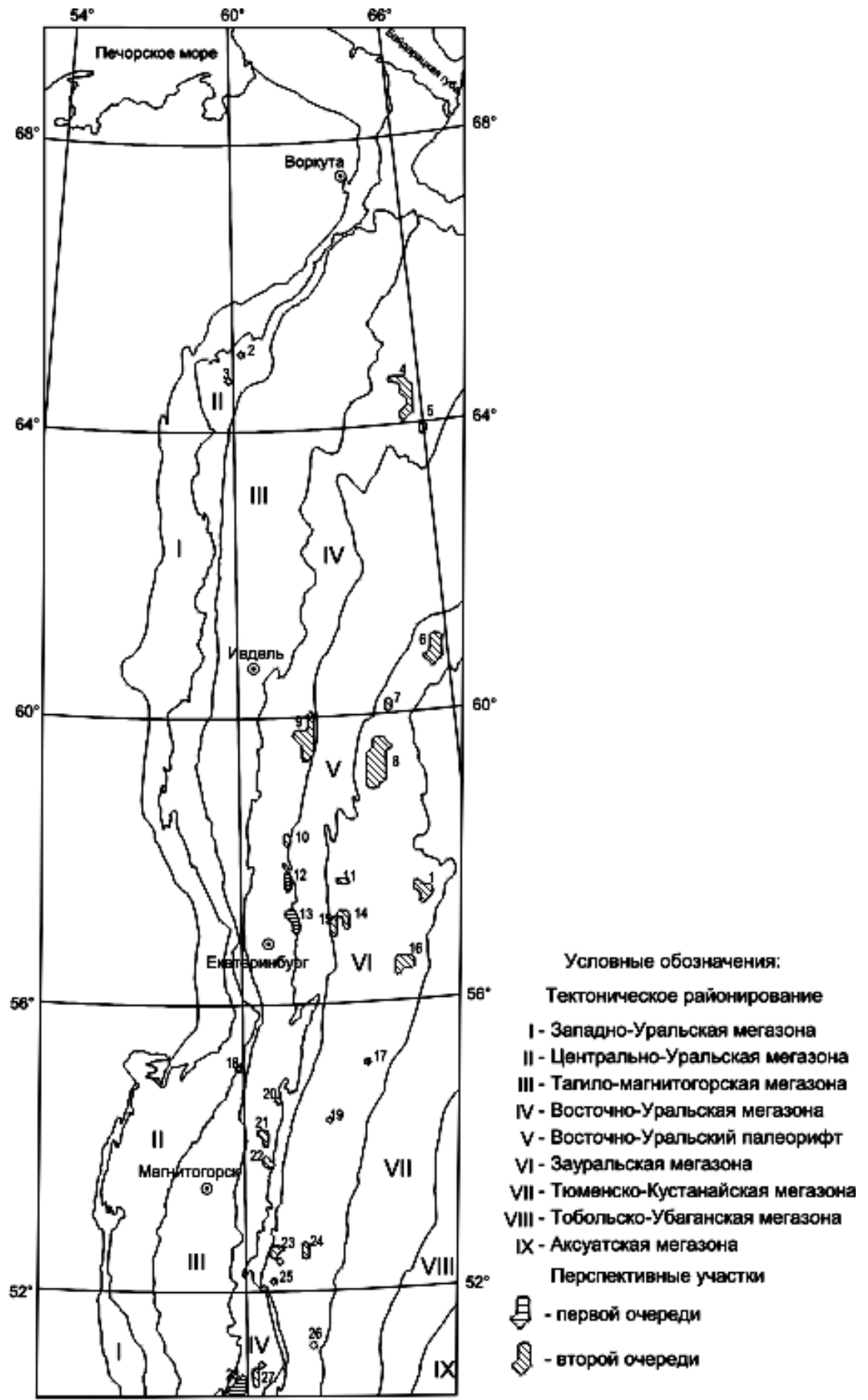


Рис. 4. Положение перспективных площадей в региональных структурах

Ситуация, складывавшаяся до экономического кризиса 2008 года на Азиатском, Американском, Европейском, Российском и Мировом рынках, а также структура молибденовой подотрасли в Российской Федерации свидетельствуют о целесообразности освоения Уральских месторождений вольфрама и молибдена.

Основные положения диссертации изложены в восьми статьях в журналах из Перечня ведущих рецензируемых научных изданий, в двух монографиях, одной коллективной монографии и в более чем 80 работах в журналах, сборниках и материалах конференций. Основные из них следующие:

В журналах из Перечня ведущих рецензируемых научных журналов и изданий:

- 1. Амдур, А. М. Железорудные месторождения Уральского региона / А. М. Амдур, В. А. Елохин, С. В. Корнилков, В. Ф. Рудницкий // Известия высших учебных заведений. Горный журнал, 2006, N 3. С. 128-136.
- 2. Елохин, В. А. Молибденоворудные и молибденсодержащие формации Урала, их эволюция во времени и пространстве / В. А. Елохин // Литосфера, 2006, № 2. С. 167-175.
- 3. Елохин, В. А. Использование техногенных образований горно-металлургического производства для получения молибдена / В. А. Елохин // Известия высших учебных заведений. Горный журнал, 2006, № 2. С. 133-139.
- 4. Елохин, В. А. Месторождения вольфрам-молибденовой грейзеновой формации в региональных структурах и физических полях Урала / В. А. Елохин // Литосфера, 2006, № 3. С. 149-159.
- 5. Елохин, В. А. Железорудные скарновые месторождения Урала и их молибденоносность / В. А. Елохин // Известия высших учебных заведений. Горный журнал, 2006, № 3. С. 136-139.
- 6. Елохин, В. А. Молибденсодержащие редкометалльные формации Урала//Литосфера, 2009, №  $3.-\mathrm{C}.47$ -63.
- 7. Елохин, В. А. Молибденоворудный потенциал горнодобывающей промышленности Урала / В. А. Елохин // Известия высших учебных заведений. Горный журнал, 2009, № 3. С. 32-37. 8. Елохин, В. А., Маркетинговые исследования рынков вольфрама и молибдена / В. А. Елохин, Л. А. Балян // Известия высших учебных заведений. Горный журнал, 2007, № 4. С. 30-42.

#### В монографиях:

- 9. Елохин, В. А. Маркетинг минерального сырья: Научное издание / В. А. Елохин Екатеринбург: Изд-во УГГГА, 2004. 396 с.
- 10. Елохин, В. А. Месторождения вольфрам-молибденовой грейзеновой формации Урала: Научное издание / В. А. Елохин Екатеринбург: Изд-во УГГУ, 2006. 220 с.
- 11. Медноколчеданные месторождения Урала: Условия формирования / В. А. Прокин [и др.] Екатеринбург: УрО АН СССР, 1992. 306 с.

В материалах международных, Всероссийских (Всесоюзных), региональных совещаний, конференций:

- 12. Григорьев, В. В. Кимрит с Харбейского вольфрам-молибденового месторождения (Полярный Урал) / В. В.Григорьев, Ю. В. Ерохин, В. А. Елохин // Уральская минералогическая школа 2007. «Под знаком марганца и железа». Материалы Всероссийской научной конференции студентов, аспирантов, научных сотрудников академических институтов и преподавателей ВУЗов геологического профиля Екатеринбург: ИГГ УрО РАН, 2007. С. 178-181.
- 13. Елохин, В. А. Перспективы создания молибденоворудной базы на Урале / В. А. Елохин // Эндогенное оруденение в подвижных поясах. Материалы международной научной конференции (XIII Чтения памяти А. Н. Заварицкого) Екатеринбург: Институт геологии и геохи-

- мии УрО РАН, 2007. С. 245-248.
- 14. Елохин, В. А. Уральские молибденоворудные и молибденсодержащие месторождения порфирового семейства / В. А. Елохин // Эндогенное оруденение в подвижных поясах. Материалы международной научной конференции (XIII Чтения памяти А. Н. Заварицкого) Екатеринбург: Институт геологии и геохимии УрО РАН, 2007. С. 248-252.
- 15. Елохин, В. А. О необходимости поисков и освоения молибденовых месторождений на Урале / В. А. Елохин // Наука и оборонный комплекс основные ресурсы российской модернизации. Материалы межрегиональной научно-практической конференции (25-26 апреля 2002 года). Екатеринбург: Центральная научная библиотека УрО РАН, 2002. С. 463-467.
- 16. Елохин, В. А. Молибденоворудные и молибденсодержащие рудные формации Урала / В. А. Елохин // Геология и минерально-сырьевые ресурсы европейской территории России и Урала. Материалы региональной конференции. Книга вторая Екатеринбург: Минприроды РФ, Правительство Свердловской обл., Комприроды по Свердловской обл., УрО РАН, УГГГА, 2000 С. 70-71.
- 17. Елохин, В. А. Метаморфическая зональность Сакмарской площади и положение в ней месторождений особочистого кварца / В. А. Елохин // Метасоматическая зональность полигенных и полихронных месторождений: Материалы Всероссийской конференции «Метасоматизм и рудообразование». Екатеринбург: Уральская госуд. горно-геол. академия, 1997. С. 96-98.
- 18. Елохин, В. А. Метасоматическая и метаморфическая зональность Байдаратской площади / В. А. Елохин // Рудоносные метасоматические формации Урала. Информационные материалы. Свердловск: УрО АН СССР, 1991. С. 24-26.
- 19. Елохин, В. А. Околорудные метасоматиты молибденово-медных месторождений Полярного Урала / В. А. Елохин // Рудоносные метасоматические формации Урала. Общие вопросы и региональная метасоматическая зональность, метасоматическая зональность колчеданных и молибденово-медно-порфировых месторождений. Свердловск, 1986. С. 58-60.
- 20. Елохин, В. А. Известково-скарновая формация горной части Полярного Урала / В. А. Елохин // Рудоносные метасоматические формации Урала. Метасоматическая зональность скарновых, золоторудных, редкометальных и нерудных месторождений, теоретические основы, методика и результаты картирования метасоматических образований. Информационные материалы. Свердловск: УНЦ АН СССР, 1986. С. 11-12.
- 21. Елохин, В. А. Главные типы метасоматических формаций и метаморфизма Байдаратской площади (Полярный Урал) / В. А. Елохин, В. В. Григорьев, В. И. Чесноков // Рудоносные метасоматические формации Урала. Информационные материалы Свердловск: УрО АН СССР, 1991. С. 21-24.

## Статьи в журналах и сборниках:

- 22. Грязнов, О. Н. Метасоматическая зональность восточного склона Полярного Урала / Грязнов [и др.] // Метасоматизм и рудообразование М.: Наука, 1984. С. 198 209.
- 23. Грязнов, О. Н. Вулканизм, метасоматизм и оруденение горной части Полярного Урала / Грязнов [и др.] // Геология, поиски и разведка рудных месторождений Урала. Межвуз. науч. темат. сборник Свердловск: изд. СГИ, 1984, вып. 5. С. 24-37.
- 24. Елохин, В. А. Редкометальные альбититы Урала и их молибденоносность / В. А. Елохин // Известия Уральского государственного горного университета. Серия: геология и геофизика 2004. Вып. 19. С. 67-72.
- 25. Елохин, В. А. Молибденоворудные объекты в региональных структурах Урала / В. А. Елохин // Известия Уральской государственной горно-геологической академии. Сер: Геология и геофизика 2001. Вып. 13. С. 131-136.
- 26. Елохин В. А. Околорудные метасоматиты молибденово-медно-порфировых месторождений Севера Урала / В. А. Елохин // Метасоматиты эндогенных месторождений Урала: сб. научных трудов Свердловск: УрО АН СССР, 1989. С. 68-75.
- 27. Елохин, В. А. Геохимические особенности Коклановского вольфрам-молибденового ме-

- сторождения / В. А. Елохин, А. В. Витов // Известия Уральского государственного горного университета. Серия: геология и геофизика, 2004. Вып. 19. С. 110 119.
- 28. Елохин, В. А. Эндогенные ореолы Харбейского вольфрам-молибденового месторождения / В. А. Елохин, О. Н. Грязнов // Геохимия и минералогия первичных и вторичных ореолов. Свердловск: УНЦ АН СССР, 1986. С. 65 72.
- 29. Елохин, В. А. Геохимическая характеристика Михеевского молибденово-медного месторождения / В. А. Елохин, И. А. Прожерова // Известия Уральской государственной горногеологической академии. Серия: Геология и геофизика, 2002. Вып. 15. С. 110-118.
- 30. Елохин, В. А. Геохимическая характеристика руд Южно-Шамейского молибденового месторождения / В. А. Елохин, В. И. Чесноков, Ю. В. Чечулина // Известия Уральской государственной горно-геологической академии. Серия: Геология и геофизика, 2003. Вып. 18. С. 91 98.
- 31. Нечеухин, В. М. Генетические типы рудоносных метасоматитов в докембрийских толщах Урала / В. М. Нечеухин [и др.] // Метасоматиты докембрия и их рудоносность. М.: Наука, 1989. С. 132-138.
- 32. Чесноков, В. И. Пропилитизированные породы Севера Урала / В. И. Чесноков, В. В. Григорьев, В. А. Елохин // Геология метаморфических комплексов. Межвуз. научн. тематич. сб. Свердловский горный институт, 1990. С. 29-37.
- 33. Чесноков, В. И. Методика составления среднемасштабных карт метасоматических формаций (на примере Севера Урала) / В. И. Чесноков [и др.] // Картирование метасоматических образований Урала: Информационные материалы Свердловск, УрО АН СССР, 1988. С. 37 53.